

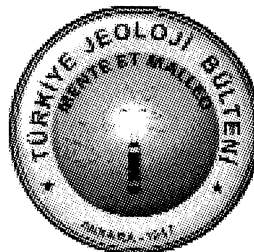
## PAPER DETAILS

TITLE: Sivas Batisindaki (Yıldızeli-Akdağmadeni) Hidrotermal Kaolin ve I-S Oluşumlarının Mineralojisi ve Jeokimyası

AUTHORS: Hüseyin YALÇIN, Ömer BOZKAYA

PAGES: 1-24

ORIGINAL PDF URL: <https://dergipark.org.tr/tr/download/article-file/760388>



## Sivas Batısındaki (Yıldızeli-Akdağmadeni) Hidrotermal Kaolin ve I-S Oluşumlarının Mineralojisi ve Jeokimyası

### ***Mineralogy and Geochemistry of Hydrothermal Kaolinite and I-S Occurrences, (Yıldızeli-Akdağmadeni) W-Sivas***

Hüseyin YALÇIN

Cumhuriyet Üniversitesi Jeoloji Mühendisliği Bölümü 58140 Sivas  
e-posta : yalcin@cumhuriyet.edu.tr

Ömer BOZKAYA

Cumhuriyet Üniversitesi Jeoloji Mühendisliği Bölümü 58140 Sivas  
e-posta : bozkaya@cumhuriyet.edu.tr

#### Öz

Eosen'de etkin olan kırık sistemleri volkanik malzemelerin ortaya çıkmasına; olasılıkla Üst Miyosen'-de yeniden aktif hale geçerek hidrotermal akışkanlara olanak sağlamış gözükmemektedir. Böylece Sivas batisında sıcak sular ile volkanogenik bileşenlerin kimyasal etkileşiminin ürünleri olan hidrotermal neoformasyon mineralleri oluşmuştur. Şeyhhalil, Canabdal, Kiremitli ve Kavak yörelerindeki beyaz-sarı renkli bozmuş volkanik kayaçlarda egemen olarak kaolinit veya I-S gelişmiştir. Ayrıca bu kayaçlarda jarosit, alünit, goya-zit, jips, barit, hematit, götit, pirit, markasit, jipsit, siderit ve tridimit mineralleri de saptanmıştır. Sadece Can-abdal bölgesindeki alünit ve goyazit K-feldispattan türemiştir. Alünitin gözlenmediği diğer yörelerde ise jarosit ortaya çıkmaktır ve çoğunlukla götit'e eşlik etmektedir. Bu mineralin oluşumunda biyotit ve/veya opak minerallerin bozulması gerekmektedir. Kaolinit ve I-S'ler için, ortamlar farklı olmasına rağmen, tonşaynlara benzer bir oluşum biçimini ileri sürebilir. Burada ilk aşama volkanik camın asidik hidrotermal çözeltiler ile ayrışması ve oluşan sulu Al-silikat jelî biçimindeki ara üründen itibaren kaolinit veya I-S'in sentezi olasılı gözükmemektedir.

Anahtar Sözcükler: Hidrotermal bozulma, Kaolinit, I-S, Mineraloji, Jeokimya

#### Abstract

*The fracture systems of Eocene age seem to be revealed volcanic materials and hydrothermal fluids by reactivating possibly in Upper Miocene. Thus hydrothermal neoformation minerals, the products of interaction of thermal water and volcanogenic compounds, are occurred in the west of Sivas. Kaolinite and I-S are dominantly developed in the white-yellow altered volcanic rocks in the Şeyhhalil, Canabdal, Kiremitli and Kavak areas. Besides jarosite, alunite, goyazite, gypsum, barite, hematite, goethite, pyrite, marcasite, gibbsite, siderite and tridymite minerals are determined in these rocks. Alunite and goyazite from Canabdal area are derived from K-feldspar. Jarosite appears in the areas observed no alunite and accompanies usually goethite. The alterations of biotite and/or opaque minerals are necessary for formation of this mineral. A formation type similar to tonsteins can be proposed for kaolinite and I-S. Here first stage is the hydrolysis of volcanic glass by acidic hydrothermal solutions and then the synthesis of kaolinite or I-S from an intermediate product such a hydrated Al-silicate gel is possibly postulated.*

**Key words :** Hydrothermal alteration, Kaolinite, I-S, Mineralogy, Geochemistry

## GİRİŞ

Günümüzde geniş kullanım alanlarına sahip olması nedeniyle, kaolin sanayide aranan bir endüstriyel hammadde niteliğindedir. Türkiye'deki kaolin yataklarının oluşumu başlica iki farklı ortam ve mekanizma ile açıklanmaktadır (Yeniyol, 1983; Gençoğlu ve *dīg.*, 1989 ; Fuji ve *dīg.*, 1995 ; Yalçın, 1991 ve 1997 ; Yalçın ve *dīg.*, 1997) : Birincisi, göl-sel ve sıç denizel ortamlara çevredeki feldispatça zengin kayaçlarm (özellikle granitik ve riyolitik) malzeme vermesi ve sonuçta diyajenetik süreçlerin egemen olmasıdır. İkincisi, asidik volkanik kayaçlarm hidrotermal bozusması ile feldispat ve volkanik camın kaolinleşmesidir.

Çalışma sahası 1:100.000 ölçekli Sivas 1-36 paftasının yaklaşık tamamını kapsamakta olup, Sivas ve Yozgat ili sınırları içerisinde bulunmaktadır. Sivas havzasını yaklaşık doğu ve batıdan çevreleyen Eosen yaşı volkanik kayalar içerisinde hidrotermal bozusma ile ilişkili kil oluşumları bulunmaktadır. Bu oluşumlar, özellikle Yıldızeli-Akdağmadeni (Yalçın, 1997; Çerikcioğlu ve Yalçın, 1998) ve Zara çevresinde yüzey temektedir. Bunlar-dan Zara çevresindeki kaolinler 1999 yılından itibaren ÇİMSA firması tarafından işletilmekte olup, bir doktora tezi kapsamında ayrıca incelenmektedir.

Yaklaşık 1-5 km<sup>2</sup>'lik çok sayıda yatak oluşturan bu oluşumların jeolojisi, mineralojisi, kökeni ve cevherleşmenin değerlendirilmesi (kalite, rezerven-tör, kimyasal-teknolojik özellikleri, kullanım alanları) konusunda literatürde herhangi bir bilgiye rastlanılmamıştır. Bölgenin stratigrafik ve tektonik özelliklerini ise birçok araştırmacı (Kurtman, 1973; Tatar, 1977; Yılmaz, 1981a-b; 1983; Gökten, 1983; Tütüncü ve Aktimur, 1988; Aktimur ve *dīg.*, 1990; Yılmaz ve *dīg.*, 1995 ve 1997) tarafından incelenmiştir.

Bu çalışmada ise kaolin ve I-S biçimindeki killerin oluşumu, kökeni, parajenetik, mineralojik ve kimyasal özellikleri, bu minerallerin oluşumunda bozunma (weathering) ve bozusma (alteration) süreçlerinin (yükseksel, hidrotermal, deniz suyu v.b.) etkisi araştırılmıştır. Çokunlukla volkanojenik kayaçlardan oluşan köken malzemelerdeki bozumaların

kaolinin yanı sıra, başka minerallerin (silis, alünit, kil, karbonat, metalik cevherleşme vb.) oluşumlarına yol açıp açmadığı ise incelenmesi gereken bir başka konuyu oluşturmaktadır.

Sivas havzası çevresinde gözlenen çok sayıdaki kaolinlerin oluşum mekanizmasına göre ayırtlanarak coğrafik dağılımlarının ortaya konulması, kaolin aramalarına dolayısıyla yeni yatakların bulunmasına katkıda bulunacaktır. Ayrıca, farklı kökendeki kaolinlerin mineralojik-kimyasal karakteristiklerinin belirlenmesi, kullanım alanlarının seçimine de yardımcı olacaktır. Bilinçsizce yapılan işletmelerle kaolin sahalarının yaygın biçimde paşalarla örtülmesi, gelecekteki araştırmaları da olanaksız kılacağından, bilimsel iletişimın önemli bir aracı olan proje ve makalelerle bu tür tehlikeler büyük ölçüde ortadan kaldırılabilircektir.

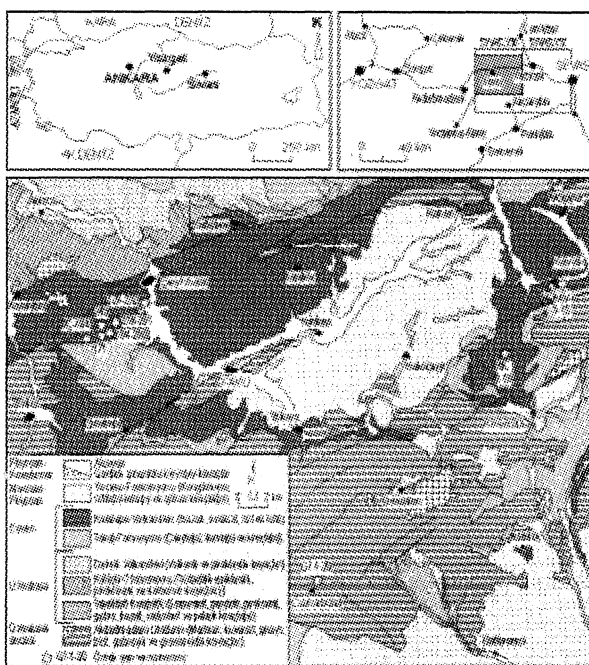
## STRATİGAFİ VE TEKTONİK

### Stratigrafi

Bu çalışmanın ilk aşamasında Yılmaz ve *dīg.* (1995 ve 1997) tarafından yapılan ve inceleme alanını da içine alan 1:100 000 ölçekli jeoloji haritası kullanılarak birimlerin stratigrafik ilişkileri incelenmiştir. Sonra çalışmanın amacı da göz önüne alınarak bölgenin jeoloji haritası kısmen değiştirilerek hazırlanmıştır (Şekil 1). Litostratigrafi birimlerinin adlandırılmasında önceki araştırmacıların (Özcan ve *dīg.*, 1980; Yılmaz, 1981a, 1983) çalışmalarına mümkün olduğunda bağlı kalınmıştır (Şekil 2). Üst Kretase yaşı birimleri Akdağmadeni Litodemi, Tekelidağ Karışığı, Külli Olistostromu ve Darmik Volkanitleri; Eosen yaşı birimleri Tokuş formasyonu ve kaolin oluşumları içeren Kaletepe Volkanitleri oluşturmaktadır. En üstte ise Miyoplolygon yaşı İncesu formasyonu bulunmaktadır.

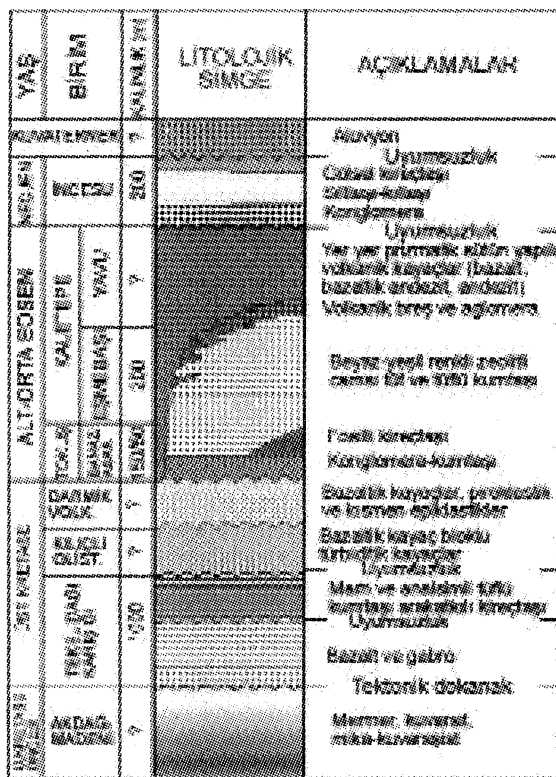
Akdağmadeni Litodemi başlica gnays, şist, kuvarsit ve mermerlerden oluşmaktadır. Eosen yaşı birimlerin üzerinde nap konumunda yer alan Tekelidağı ofiyolitli karışığının (Yılmaz, 1981a, 1983) e-gemen litolojilerini magmatik ve karbonat kayaçları ile serpentinitler oluşturmaktadır. Magmatik kayalar tabakalı bir yapı sunmakta olup, yeşil renkli oldukça bozunmuş gabrolar ve siyah renkli bazalt-

## SİVAS BATISINDAKİ (YILDIZELİ-AKDAĞMADENİ) HİDROTERMAL KAOLİN ve İ-S OLUŞUMLARI



Şekil 1. İnceleme alanının yer bulduru ve bölgesel jeoloji haritası (Yılmaz ve diğ., 1997'den basitleştirilerek).

*Figure 1. Location and regional geology map of the study area (simplified from Yilmaz et al., 1997).*



Şekil 2. İnceleme alanının genelleştirilmiş stratigrafik dikme kesiti.

*Figure 2. Generalized stratigraphic columnar section of the study area.*

lardan oluşmaktadır. İnce tabakalı, oldukça sert (yer yer silisli) ve kıvrımlı kireçtaşları ile temsil edilen karbonat kayaçları, bordo renkli mam (2-3 cm) ve yeşil renkli analsim içeren tüflü kumtaşları (10 cm) ile arakatkıdır. Kılıçlı Olistostromu; genellikle Üst Kretase yaşı ve yer yer olistostromal özellikteki yastık yapılı spilitik bazalt, silislesmiş riyolit türü volkanik ile volkanotortul kayaclardan oluşmakta ve düzensiz geometri sunmaktadır. Bunların bağlayıcı malzemesini gri-yeşil renkli kiltaşı, silttaşları, kumtaşı ve marnlar oluşturmaktadır. Darmik Volkanitleri; piroklastik ve epiklastik kayaçlar ile yer yer lavlardan oluşmaktadır.

Tokuş Formasyonu; ağırlıklı olarak çakıltaşından oluşan alt kesimi Susuzdağ üyesi, kumtaşlardan oluşan kesimi Banaz üyesi, Nummulites'li kireçtasından oluşan bölüm ise Asar üyesi olarak üç alt birime ayrılmıştır. Susuzdağ üyesi konglomera ve breşlerin bileşenlerini 2 mm'den 20-30 cm'ye kadar değişen boyutlardaki metamorfik kayaç parçaları (kuvarsit, şist ve mermer) oluşturmaktadır. Bu bileşenler birbirine kırmızı-bordo renkli silt-kum boyundaki matriksle bağlanmıştır. Daha üst kesimler ise Banaz Üyesine geçmekte ve tabakalı, farklı renklerde (sarı, siyahımsı yeşil ve bordo), yer yer gevşek çimentolu, bol muskovitli orta-ince taneli kumtaşlarından oluşmaktadır. Kumtaşları içerisinde ender de olsa siyah-bordo renkli kireçtaşı ve sarı renkli dolomit bantlarına da rastlanılmaktadır. Asar Üyesi, sadece havzanın güney kesiminde ve havzanın kenar kesimlerinde 1 km<sup>2</sup> den küçük mostralalar vermektedir. Birim, genellikle sarı, yer yer beyaz ve gri renkli bol nummulitli kireçtaşlarından oluşmaktadır. Kaletepe Volkanitleri; çalışmanın ana konusunu oluşturmaktır, tipik bir volkanoklastik volkanik kesiksiz dizilimi temsil etmektedir. Bu birimin piroklastik ürünleri Eşmebaşı üyesi, volkanik breş-aglomera ve lav ürünleri ise Yavu üyesi biçiminde iki alt ümeye ayrılmıştır (Yalçın, 1997; Çerikcioğlu ve Yalçın, 1998).

Yavu çevresinde yüzeyleyen en genç birimi oluşturan İncesu Formasyonu akarsu ve gölsel oluşuklar olmak üzere iki alt ümeye ayrılmıştır. Birim dolomit çimentolu ve kil matriksli, cm-dm boyutuna kadar değişen ve daha yaşlı birimlerin çakıllarından oluşan turuncumsu renkli konglomeralarla

başlamaktadır. Konglomeralar, yer yer gevşek yapılı, sarı, renkli, soğan kabuğu biçiminde küresel yapılar gösteren çoğunlukla ince tabakalı yeşil renkli kiltaşı ve kahverengi silttaşlarına geçiş göstermektedir. Birimin en üst kesimi kiltaşı ve killi dolomit arakatkılı (1 m) beyaz-pembe kireçtaşlarından oluşmaktadır.

### Tektonik

İnceleme alanı, Üst Kretase yaşı ofiyolitli karışık ve örtü kayalarından oluşan tektonik dilimlerin güneye doğru yerleşimine karşılık gelen Orta Anadolu Bindirme Kuşağıının (Tatar, 1977) ön kesiminde yer almaktadır. İnceleme alanının kuzeyindeki Üst Kretase yaşı Tekelidağı Karışığının Alt-Orta Eosen yaşı Tokuş Formasyonu ve Kaletepe Volkanitleri üzerinde tektonik dokanakla yer alması, bölgenin Üst Eosen'den itibaren K-G yönlü bir sıkışma rejimi sonucu deformе olduğunu göstermektedir. Bu deformasyonla ilgili olarak özellikle Eosen yaşı birimlerde DKD-BGB doğrultulu biidirme fayları, havzanın güney kesiminde de aynı doğrultuda eksenleri bulunan kıvrımlar gelişmiştir. Akdağmadeni Litodemi'ne ait metamorfik kayaçlar ile Eosen yaşı birimler yer yer faylı dokanak ilişkisi göstermektedirler (Gökten, 1993).

### KİLOLUŞUMLARININ JEOLOJİSİ

Bölgedeki kil oluşumları, Kaletepe Volkanitleri'nin Yavu üyesi içerisinde gelişmiştir. Eşmebaşı üyesinde ise kil içeren bozuşma zonlarına rastlanılmaktadır.

İnceleme alanındaki volkanizmanın lav ürünlerini bazalt, bazaltik andezit ve andezitler, parçalı ürünlerini ise aynı bileşimli breş ve aglomeralar temsil etmektedir. Volkanik kayaçların taban seviyelerindeki volkanik breşlerin ve aglomeraların ana bileşenlerini 1-50 cm boyutlarında, siyahanın yeşile ve pembeimsiye kadar değişen renklerdeki bazaltik - andezitik bileşimli volkanik kayaç parçaları oluşturmaktadır. Bu ana bileşenler genellikle yeşil (zeolitleşmeden dolayı), gevşek yapılı, kül-lapilli tane boyundaki volkanojenik malzeme ile birbirine bağlanmıştır. Volkanik breş ve aglomeralar, alt kesimlerinde Eşmebaşı üyesi tüfleri ile ardalanmalıdır. İnceleme alanının güneyindeki volkanik

## SİVAS BATISINDAKİ (YILDIZELİ-AKDAĞMADENİ) HİDROTERMAL KAOLİN ve İ-S OLUŞUMLARI

kayaçlar genellikle siyah, bozunmuş olanlar ise yeşil renkli olup, çoğunlukla amigdaloidal yapı göstermektedir. Küresel ve oval amigdallerde kalsit, silis ve zeolit dolguları yaygındır. Volkanik kayaçlarda yer yer akma yapılarına da rastlanılmaktadır. Eşmebaşı üyesinin volkanoklastik serisi içerisinde dayklar (2-6 m) şeklinde de bulunmaktadır/Ayrıca Eşmebaşı köyünün kuzeydoğusunda ve Pazarcık köyünün yaklaşık 1 km güneybatısında hekzagonal sütun yapıları göstermektedir.

Şeyhhalil yöreni kil oluşumları, inceleme alanının kuzeybatısında; Şeyhhalil köyünün güneybatısında sarımsı-beyazimsı renkli, Çukursaray köyünün kuzeyinde 1-2 kin uzunluğunda ve 20-50 m'lik dar bir şerit halinde D-B uzanımlı, kahverengi, limonitli volkanik kayaçlar yaygın hidrotermal bozuşma göstermektedir. Bunlar çoğunlukla yumuşak ve ilksel yapısını yer yer kaybetmişlerdir. Özellikle Çukursaray köyünün kuzeyindeki hidrotermal bozuşmalı volkanik kayaçlar, akma yapılı taze volkanik kayaçlar ile yanal geçişlidir.

Canabdal köyünün yaklaşık 1 km kuzeyinde Göktaş Tepe bütünüyle kaolinitlerden oluşmuştur. Yaklaşık D-B doğrultulu, 50 m görünür kalınlığa sahip ve 1 km<sup>2</sup>'lik bir alan kapsayan ve morfolojik olarak volkanik bir çıkmayı işaret eden tepe Akdağmadeni Litoderrii'ne ait metamorfik kayaçlar içinde bulunmaktadır. Genellikle yeşil renkli olan kaolin oluşumları masif bir görünümdedir. Oldukça sert olan kaolinitik kayaçların çatlaklarında yer yer demiroksit minerallerine rastlanılmaktadır. Ayrıca, porfirik yapılı kaolinitik kayaçlar yeşil-sarı-beyaz bantlar ve yamacıklar oluşturmaktadır. Kaolin oluşumlarını çevreleyen şist ve kuvarsitlerde sarımsı-kahverengimsi düzensiz ve santimetrik bozuşma zonlarla rastlanılmaktadır.

Kiremitli Köyünün yaklaşık 4 km kuzeybatısında yer alan beyaz-sarı renkli bir bozuşma bölgesi (yaklaşık 5 km<sup>2</sup>) bulunmaktadır. N30 E doğrultulu ve yaklaşık 100 m kalınlığındaki bozuşma ürünleri, andezitik kayaçlara geçiş göstermektedir. Beyaz-sarı renkli killeşmiş kayaçlar hafif ve yumuşak, ince taneli; buna karşın kahverengi-kırmızı renkli, breşik görünümlü, yer yer gözenekli, silisli ve demirli kayaçlar ağır ve sert olup, 1-5 m'lik bantlar

veya 0.5-1 m'lik yumrular ve/veya mercekler aşınmaya dayanıklı çıkıntılar oluşturmaktadır. Demirli kayaçlarda böbreğimsi siyah renkli götitler belirgindir. Bozunmuş kayaçlarda 2-10 cm çapında küresel yapılar gözlenmekte olup, içice geçmiş kabuklarda dıştan içe doğru bozuşma azalmakta ve tipik porfirik yapılı volkanik kayaçlara geçiş göstermektedir.

Kavak köyünün güneydoğu sırtlarında gözlenen bozuşma zonları, Kiremitli kil oluşumlarına büyük benzerlik göstermektedir. Yeşil-beyaz-sarı renkli bir bozuşma zonu (yaklaşık 1 km<sup>2</sup>) K80 D doğrultulu ve yaklaşık 100 m kalınlığında olup, volkanik kayaçlara geçiş göstermektedir. Yeşil renkli, sabunumsu, oldukça yumuşak, ince taneli kil oluşumları içinde yaygın jips oluşumları bulunmaktadır. 1-20 cm büyülüüğündeki jips mineralleri levhamsı, tek, ikiz ve/veya çokuz mineraller ve işinsal demetler biçiminde bulunmaktadır. Sarı-kahve renkli, silisli ve demirli veya demir sıvamalı kayaçlar 1-3 m'lik bantlar veya 0.5-2 m'lik yumrular ve/veya mercekler biçiminde çıkıntılar oluşturmaktadır.

### MATERIAL VE YÖNTEM

Bu çalışmada kullanılan inceleme ve çözümleme yöntemleri optik mikroskop (OM), X-ışınları difraksiyonu (XRD), taramalı elektron mikroskop (SEM) ve kimyasal incelemelerden oluşmaktadır. SEM hariç diğerleri Cumhuriyet Üniversitesi Jeoloji Mühendisliği Bölümü Mineraloji-Petrografi ve Jeokimya Araştırma Laboratuvarı'nda (MİPJAL) gerçekleştirilmiştir.

OM incelemeleri, ince kesitler üzerinde Nikon marka, binoküler alttan aydınlatmalı polarizan mikroskopbunda yapılmıştır. Bu yöntem ile kayacı oluşturan bileşenler ve bunların dokusal özellikleri tanımlanarak kayaçların adlandırılmalarının yanı sıra; diyajenez, ve bozunum / bozuşma ürünleri, dolayısıyla minerallerin oluşum ve kökenleri aydınlatılmaya çalışılmıştır.

SEM incelemeleri; Şeyhhalil yörenine ait 2 örnek, MTA Maden Analiz ve Teknoloji Dairesi'nde, Canabdal yörenine ait 1 örnek ise İTÜ Metalürji Mühendisliği Bölümü'nde yaptırılmıştır. Bu incelemeler yaklaşık 0.5 cm<sup>3</sup>'lük kayaç örneklerinin

doğal yüzeyi altınla kaplanarak gerçekleştirilmişdir. Bu yöntem ile kaolin ve buna eşlik eden diğer kriptokristalin minerallerinin biçim, boyut ve dokusal ilişkileri saptanarak hidrotermal bozusma evrimlerine açıklık getirilmiştir.

XRD çalışmaları Rigaku marka DMAX IIIC model X-işınları Difraktometresi'nde gerçekleştirılmıştır. XRD incelemeleri, submikroskopik sedimanter ve volkanosedimenter kayaçların mineralojik bileşimlerinin (XRD-TK) ve kil boyu bileşenlerinin (XRD-KF), ayrıca volkanik kayaçlardaki bozusma ürünlerinin ve minerallerdeki polimorfik değişimlerin belirlenmesi amacıyla çok sık olarak kullanılmıştır.

XRD çalışmalarında kullanılacak örnekler önce 3-5cm'lik parçalar halinde çekiçle, daha sonra Fritisch marka çeneli kırıcıda 5 mm'den küçük taneler halinde kırılmış ve yine aynı marka silikon karbid çanaklı öğütücüde yaklaşık 10-20 dk. süreyle öğütülmüşür. Bu şekilde elde edilen toz malzeme naylon torbaya konulup etiketlendikten sonra çözümlemelere hazır konuma getirilmiştir. XRD-TK çözümlemelerinden elde edilen toz diffraktogramları için aşağıda verilen aletsel koşullar kullanılmıştır: Anot = Cu (CuK = 1.541871 Å), Filtre - Ni, Gerilim = 35 kV, Akım = 15 mA, Gonyometre hızı = 2 /dak., Kağıt hızı = 2cm/dak., Zaman sabiti = 1 sn, Yarıklar = 1 0.15 mm 1 0.30 mm, Kağıt aralığı = 2 = 5-35 . Minerallerin yarı nicel yüzdeleri, Yalçın ve Bozkaya (2002) tarafından minerallerin pik şiddetlerinden itibaren belirlenen şiddet faktörleri dikkate alınarak hesaplanmıştır.

XRD-KF çözümlemeleri için gerekli kil ayırması esas itibarıyla kimyasal çözme (karbonat gibi kil-dışı fraksiyonun uzaklaştırılması), santrifüjleme - dekantasyon - yıkama, sedimentasyon - sifonlama - santrifüjleme ve şıxelemeden oluşmaktadır. Santrifüjleme işlemi Heraeus Sepatech marka Varifuge 3.2 S model 5600 devir/dk hızı ve 200 cc kapasiteli metal kodelere sahip santrifüjde yapılmıştır. Ayrılmış her kil çamurundan üzerine sıvama veya kabarıp çatlayanlarda süspansiyon halinde üç adet yönlendirilmiş lam preparat hazırl-

lanmış ve bunlar oda sıcaklığında kurutulmuştur. Sonra, aynı kağıta normal (havada kurutulmuş), fırılı (490 °C'de 4 saat kül fırınında tutulmuş), etilen glikollü (60 °C'de 16 saat desikatörde etilen glikol buharında bekletilmiş) kayıtlar yapılmıştır. Çekimlerde gonyometre hızı 1°/dak ve kayıt aralığı 2 =2-30 (hata miktarı ±0.04 ) olarak ayarlanmıştır. Daha sonra difraktogramlardan itibaren kil mineralerinin tanımlanması (001) bazal yansımalarına göre yapılmış ve pik şiddetlerinden yararlanılarak kil minerallerinin yarı nicel yüzdeleri hesaplanmıştır.

I-S ve smektitlerin oktaedrik bileşimlerinin belirlenmesi amacıyla d(060) yansımısy yardımıyla bO-parametresi hesaplanmıştır. Bu ölçüm, kuvarsın (211) piki (2 = 59.982\*, d= 1.541 Å) referans alınarak 2 = 59-63\* (\* 0.01\*) kayıt aralığında ve 1°/dak. gonyometre hızında ölçülmüştür. Kaolinit politiplerinin belirlenmesinde 2 = 2-65\* kayıt aralığı ve 2° /dak. gonyometre hızı kullanılmıştır.

Tüm kayaç ve mineral fazında yapılan ana ve iz element çözümlemeleri için Rigaku marka 3270 model X-işmları floresans spektrometresi (XRF) kullanılmıştır. Analizler USGS (Flanagan, 1976) ve CRPG, GIT-IWG, ANRT (Govindaraju, 1989) kayaç standartları eşliğinde yapılmış olup, doğruluk ana elementlerde % ± 2, eser/iz elementlerde % ± 5 mertebesindedir. XRF analizlerinde toz örnek Al-kapsüllere konulup, yaklaşık 10 tonluk yük altında preslenerek elde edilen pastiller üzerinde yapılmıştır.

Kimyasal çözümlemelerde ana (major) elementler % oksit cinsinden SiO<sub>2</sub>, TiO<sub>2</sub>, Al<sub>2</sub>O<sub>3</sub>, \*Fe<sub>2</sub>O<sub>3</sub>, MnO, MgO, CaO, Na<sub>2</sub>O, K<sub>2</sub>O, P<sub>2</sub>O<sub>5</sub>; iz/eser element çözümlemeleri ppm cinsinden Cr, Ni, Co, Cu, Pb, Zn , Rb, Ba, Sr, Ga, Nb, Zr, Y, Th, As, S elementlerini kapsamaktadır. Ateşte kayıp (LOI) ise örneğin etüvde 110 °C'de bir gece kurutuluktan sonra, fırında 1000 °Cdeki H<sub>2</sub>O ve diğer uçucu bileşenlerin ağırlık cinsinden yüzdesi olarak ifade edilmiştir. Ayrıca, bazı iz/eser ve nadir toprak element çözümlemeleri de ICP-MS'de Kanada'daki Activation Laboratories Ltd. (Actlabs) şirketine yaptırılmıştır.

## PETROGRAFİ

### Volkanik kayaçlar

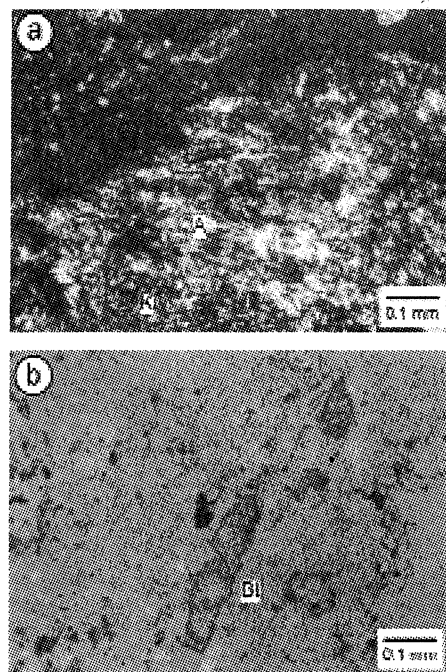
Genellikle olivin içeren volkanik kayaçlarda ender olarak eşanesel olmayan doku türlerinden glomeroporfiritik ve yönlü dokulardan traktitik-pilotaksitik doku da gözlenmektedir. Volkanik lav ve breşlerin bağlayıcı malzemesini genellikle volkanik cam ve plajiyoklaz mikrolitleri, kısmen de piroksen ve opak mineraller oluşturmaktadır. Volkanik lav ve breşlerde belirlenen mineraller açık renkli bileşenlerden plajiyoklaz, koyu renkli bileşenlerden ise olivin, piroksen (ojit, egirinojıt, enstatit), hornblend, biyotit ve Fe-oksitlerdir. Bunlar genellikle üç farklı parajenez oluşturmaktadır (Yalçın, 1997): plajiyoklaz + olivin + piroksen (ojit ve/veya enstatit), plajiyoklaz + piroksen (ojit ve/veya egirinojıt ve/veya enstatit), plajiyoklaz + hornblend ve/veya biyotit ve/veya piroksen (ojit ve/veya egirinojıt). Volkanik kayaçlar Streckeisen (1978) göre, sırasıyla bazalt, bazaltik andezit ve andezit olarak adlandırılmıştır.

Amigdaloidal dokulu volkanik kayaçlarda genellikle 1-2 mm çapındaki küresel ve oval amigdallerde yaygın natrolit, analsim ve kalsit yer almaktadır. Volkanik kayaçları oluşturan bileşenlerde eşzamanlı veya sonrası yaygın bozunma ve/veya bozışmalar gözlenmektedir. Bunlardan volkanik camda killeşme, kloritleşme, karbonatlaşma, silisleşme ve Fe-oksidasyonu, olivinlerde serpentinleşme, plajiyoklazlarda serisitleşme, karbonatlaşma ve kloritleşme, piroksenlerde karbonatlaşma, hornblendlerde opaklaşma ve karbonatlaşma, biyotitlerde opaklaşma gelişmiş niş特tir. Ayrıca gözenek ve çatlaklarda kalsite de rastlanılmaktadır.

### Bozuşmuş volkanik kayaçlar

Şeyhhalil yöresinde hidrotermal bozışmaya uğramış volkanik kayaçlarda yeni mineral oluşumları oldukça tipiktir. Bunlardan bağlayıcı malzeme-de gelişen zonlu dokulu ve özsekilli kalsitler belirgindir. Koyu kahverengi zonlar Fe-oksidasyonunu (götür) temsil etmektedir. Ayrıca matrikste yeşil renkli killeşmeler de gözlenmektedir. Bağlayıcı malzeme-de yeşil renkli killeşmeler ve Fe-oksidasyonu ile birlikte özsekilli ve zonlu dokulu dolomitler de saptanmıştır.

Canabdal yöresindeki volkanik kayaçlar çoğunlukla bozmuş olduklarından vitrofirk porfirik güçlükle ayırt edilmekte ve kalıntı biçiminde izlenebilmektedir. Matriks ince taneli kaolinit levhaları ile alünitlerden oluşmaktadır. Alünitlere iri taneli, çubuğu rombohedral biçimlerde de rastlanılmaktadır. Kaolinitler psöydohexagonal özsekilli kristaller, yer yer de kitap demetleri (booklets) biçimde görülmektedir (Şekil 3a). Matristeki kahverengi submikroskopik tanelerin XRD verilerine göre goyazit olduğu sanılmaktadır. Kuvars; gözeneklerde iri taneli, yer yer kalsedonik türde ve bazı örneklerde jel dokusu göstermektedir. Biyotit; ender ve/veya eser miktarda kahverengi levhalar biçiminde bulunmaktadır. Yer yer özsekilli opak mineraller de saptanmıştır. Feldispatlارın gözlenmemesi, volkanik kayaçların bütünüyle bozışmaya uğradıklarını düşündürmektedir.



Şekil 3. Bozuşmuş volkanik kayaçların mikrofotoğrafları, a) Kaolinit kitap demetleri ve prizmatik alünitler (Canabdal yoresi, GT-14, çift nikol; K=Kaolinit, A=Alunite), b) Kalsedonik matriks içinde özsekilli baritlerin dizilişi (Kiremitli yoresi, YK-15, tek nikol, Bt=Barit).

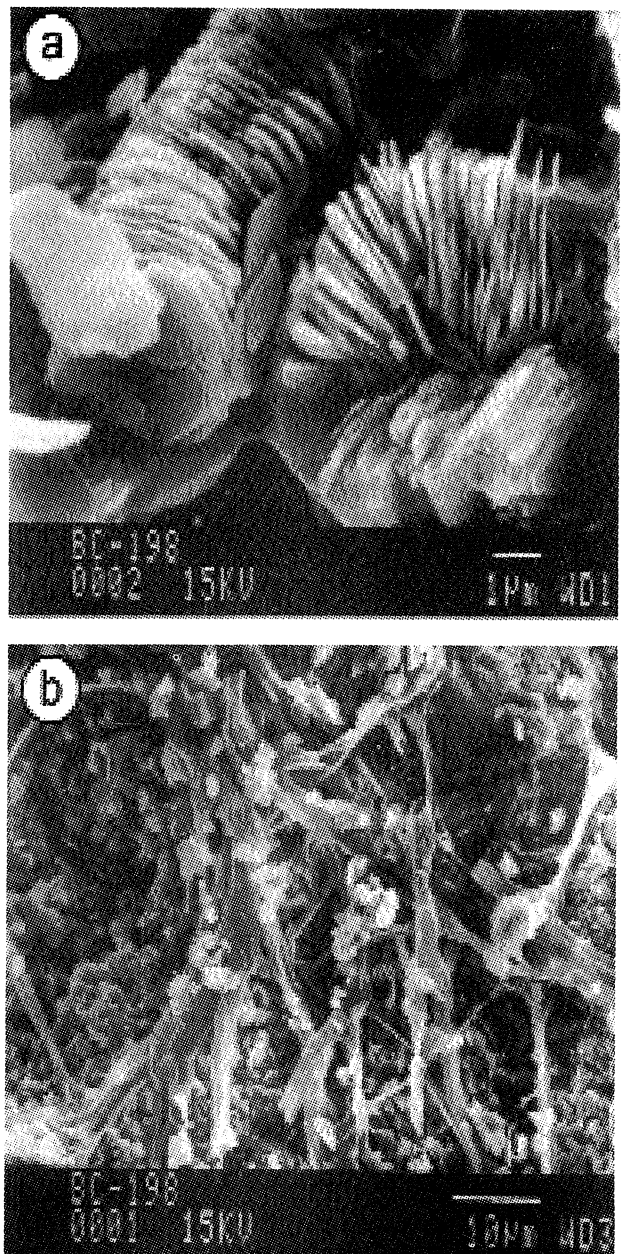
*Figure 3. Microphotographs of the altered volcanic rocks, a) Kaolinite booklets and prismatic alunites (Canabdal area, GT-14, crossed nicol, K=Kaolinite, A=Alunite), b) The arrangement of euhedral barites in the calsedonic matrix (Kiremitli area, YK-15, parallel nicol, Bt=Barite).*

Kiremitli yöresinde bozmuş volkanik kayaçlarda vitrofırıksı porfirik doku belirgindir. Bağlayıcı malzeme bütünüyle silislesme, serisitleşme ve killeşme gösteren volkan camından oluşmaktadır. Serisitler, yer yer muskovit büyülüğüne ulaşmıştır. Kayaç bozusma sonucu breşik görünüm de kazanmıştır. Fenokristalleri plajiyoklaş, sanidin ve biyotit temsil etmektedir. Kuvars, gözenek ve çatlaklarda iri kristaller biçiminde bulunmakta olup, volkanik kökenliler enderdir. Sanidinlerde seri-zitleşme ve silislesme, biyotitlerde ve daha az gözlenen hornblendlerde opasitleşme yaygındır. Bazı örneklerde gözenek ve çatlaklarda levhamsı báritler ayırt edilebilmektedir. Baritlerin birbirine paralel biçimde uzandıkları gözlenmektedir (Şekil 3b). Demirli kayaçlarda ince tanesel jarositler çoğunlukla matriksin yerini almıştır. Yer yer özçekilli opak mineraller (pirit, markasit ve götit) de saptanmıştır.

Kavak yöresindeki volkanik kayaçlar hemen hemen bütünüyle killeşmiş olup, ilksel porfirik dokunun izlenebildiği örneklerde feldispat fenokristal ve mikrolitleri, ayrıca matriks çoğunlukla serisitlere dönüşmüştür. Matriksteki kahverengi oluşumlar jarositlere karşılık gelmektedir. Jarositler, bazen iki yönlü, bazen düzensiz çatlaklarda ince taneli olarak bulunmaktadır.

Şeyhhalil yoresini temsil eden bozmuş volkanik kayaç örneğinin SEM mikrofotoğrafında (BÇ-198 : kalsit % 5, kuvars / tridimit % 25, kildaolin ve eser miktarda illit ve I-S, % 70 ve götit) mikrogözeneklerdeki psödohekzagonal kaolinit levhaları / kitapçıları görülmektedir (Şekil 4a). Her bir kaolinit levhası 3-4 (im çapında ve 0.1-0.2 mm kalınlığındadır. Levhaların oluşturduğu paketler gevşek dokulu olup, hidrotermal köken için tipiktir (Keller, 1976 ve 1978; Gençoğlu ve dig., 1989; Yalçın, 1991). Ayrıca, kaolinit levhaları bir yönde (mikrofotoğrafın sol tarafı) ve bir merkezden itibaren radyal olarak (mikrofotoğrafın sağ tarafı) dizilmektedir. Aynı örnekte I-S filamentleri de belirgindir (Şekil 4b).

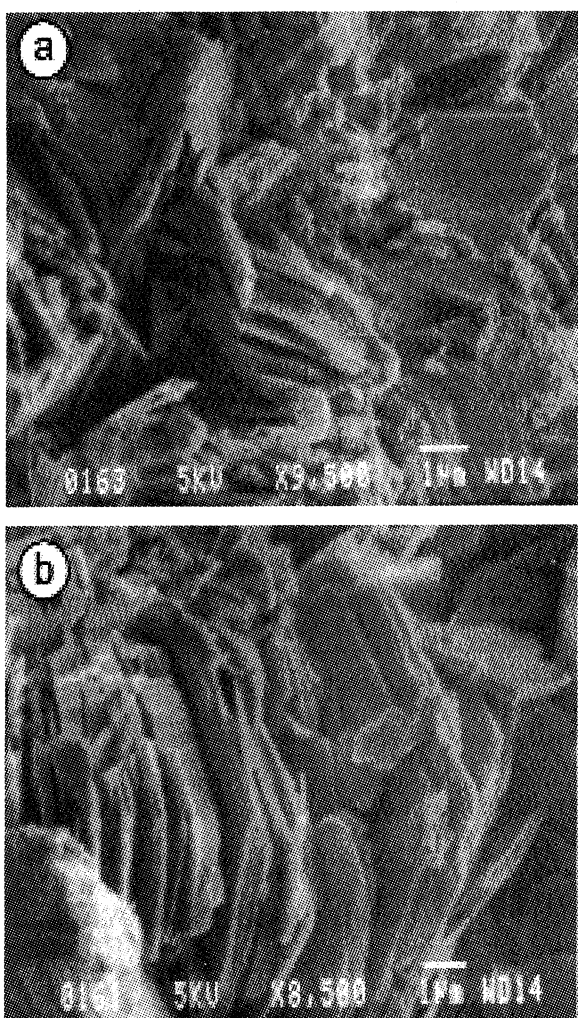
Canabdal yoresi kaolinit oluşumlarını temsil eden diğer bir örneğin SEM mikrofotoğrafında (GT-14 : kuvars % 38, kaolinit % 62, alünit ve go-



Şekil 4. Şeyhhalil yoresi bozumu's volkanik kayaçlarının SEM mikrofotoğrafları, a) psödohekzagonal kaolinit kitapçıları ve I-S filamentleri, b) kaolinit levhaları ve I-S filamentleri.

*Figure 4. SEM photomicrographs of the altered volcanic rocks from Şeyhhalil area, a) Pseudohexagonal kaolinite booklets and I-S filaments, b) kaolinite plates and I-S filaments.*

yazıt) kaolinit levhaları / kitapçıkları ve yarı kısa prizmatik alünitler görülmektedir (Şekil 5a). Mikrofotoğrafın sağ tarafında görülen özşekilli alünitler  $6 \text{ } \mu\text{m}$  uzunluğunda, 3 (im genişliğinde ve 1 (im enindedir. Psöydohexagonal kaolinit levhaları  $2-10 \text{ } \mu\text{m}$  çapında ve 0.1-0.8 (im kalınlığında olup (Şekil 5b), Şeyhhalil yöresindekilere göre daha büyük ve kalındır.



• *Şekil 5.* Canabdal yöresi bozmuş volkanik kayaçlarının SEM mikrofotoğrafları, a) kaolinit levhaları ve kısa prizmatik alünitler, b) kaolinit levhaları.

*Figure 5. SEM photomicrographs of the altered volcanic rocks from Canabdal area, a) Kaolinite plates and short prismatic ahmites, b) kaolinite plates.*

## MİNERALOJİ

### Volkanik kayaçlar

Volkanik kayaçların lav ve parçalı ürünlerinde belirlenen mineraller bolluk sırasına göre kil, analsim, feldispat, kalsit, kuvars, natrolit ve höylandittir. En yaygın parajenezi kil + analsim + feldispat oluşturmaktadır.

Killer tüm örneklerde en yaygın bulunan minerallerdir. Feldispat ve kalsit örneklerin çoğunda gözlenmesine karşılık, kalsitin miktarı az, feldispatın genel ortalamaya katkısı ise analsim kadardır. Kuvars örneklerin yaklaşık yarısında, fakat eser miktarda; höylandit ise sadece bir örnekte Eşmebaşına geçiş gösteren bir seviyede yer almaktadır. Amigdallerde saptanan mineraller ise kalsit, natrolit ve analsimdir.

Volkanik lav ve breşlere ait minerallerde ve özellikle matriksde gelişen kil mineralleri bolluk sırasına göre smektit, klorit, karışık tabakalıklar (C-S, C-V ve I-S) ve illittir. Smektitler kil fraksiyonunu tek başına oluşturabildikleri gibi, bu minerale bazı örneklerde karışık tabaka kil mineralleri de eşlik etmektedir. C-S'ler birinci diziye ait piklerinin gözlenmesi nedeniyle korensit olarak değerlendirilmiştir.  $d(060)$  ölçümüne göre smektitler içinde trioktaedral (ortalama 1.537), ikisinde ise dioktaedral (ortalama 1.506) bileşimdedir.

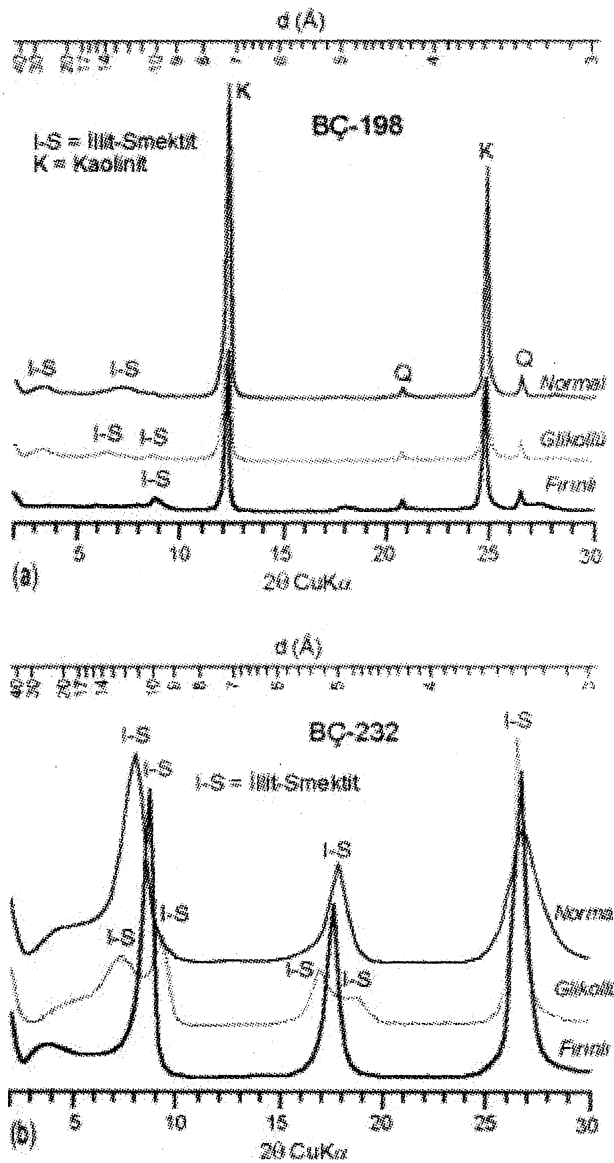
### Bozmuş volkanik kayaçlar

Şeyhhalil yöresinde hidrotermal bozuma gösteren volkanik kayaçlar dokusal farklılıklarının yanı sıra, XRD'de belirlenen mineraller bakımından da bozunmamış veya yüzeysel bozunma gösteren örneklerden kolayca ayırt edilebilmektedir. Hidrotermal bozmuş volkanik kayaçlar bolluk sırasına göre kil mineralleri, kuvars, feldispat, kalsit, dolomit, ayrıca hematit, götit, tridimit, alünit grubu minerallerinden jarosit ve bir örnekte de jips içermektedir. En ilginç parajenezler : kil mineralleri + kalsit ve/veya dolomit + feldispat + kuvars + götit + tridimit ve kil mineralleri + kuvars + (bazen feldispat) + jarosit + (bazen jips). Hidrotermal bozmuş volkanik kayaçlarda bozuma ürünü kil mine-

railerini bolluk sırasına göre kaolinit, dioktahedral I-S ve illit temsil etmektedir (Şekil 6a). I-S karışıklı kil mineralleri saf fraksiyon halinde de bulunamamıştır (Şekil 6b). Bu mineralin birinci diziye ait pikleri pek belirgin olmamış, düzenli bir yapıyı temsil etmektedir. Glikollü çekimlerdeki (002) ve (003) yansımaları veya bu yansımalar arasındaki farka (2°) göre (Moore ve Reynolds, 1997) I-S'ler yaklaşık % 75-80 (ort. 77) illit tabakası

icermeyece ve RI tipine karşılık gelmektedir.

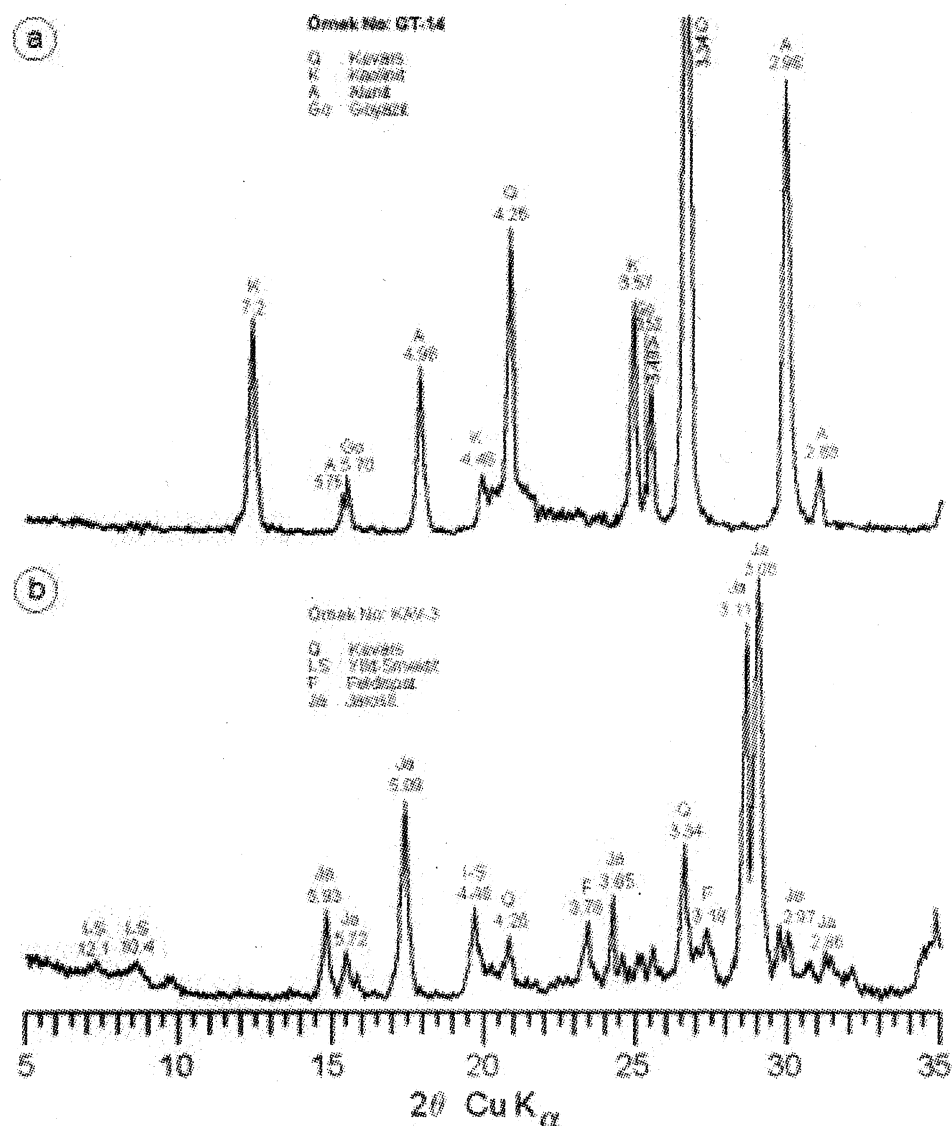
Canabdal yöresindeki bozmuş kayaçlarda kil (kaolinit), kuvars, alünit ve goyazit egemendir (Şekil 7a). Sadece bir örnekte eser miktarda siderit ve diğer bir örnekte kalsit bulunurken, feldispatlar hiç gözlenmemiştir. Kil fraksiyonunu bütünüyle kaolinit oluşturmaktadır (Şekil 8a). Çevre kayaçları oluştururan ve kısmen bozulmaya uğrayan sistelerde de kaolinite rastlanılmıştır (Şekil 8b).



Şekil 6. Şeyhhalil yoresi bozmuş volkanik kayaçlarının XRD-KF diffraktogramları, a) kaolinit I-S (BC-198), b) % 80 illit tabakası içeren düzenli I-S (BC-232).

*Figure 6. XRD clay fraction diffractograms of the altered volcanic rocks from Şeyhhalil area, a) kaolinite I-S (BC-198), b) regular I-S containing % 80 illite layer (BC-232).*

## SİVAS BATISINDAKİ ( YILDIZELİ-AKDAĞMADENİ) HİDROTERMAL KAOLİN ve I-S OLUŞUMLARI



Şekil 7. XRD-TK diffraktogramları, a) kuvars + kaolinit + alünit + goyazit, b) I-S + kuvars + feldispat + jarosit.

*Figure 7. XRD whole-rock diffractograms, a) quartz + kaolinite + alunite + goyazite, b) I-S + quartz + feldspar + jarosite.*

Kiremitli yöresindeki bozmuş kayaçlarda başlıca kuvars, feldispat, kil mineralleri, jarosit ve barit bulunmaktadır. Ayrıca götit, pirit ve ender olarak mar-kasit mineralleri de saptanmıştır. Kil fraksiyonunu tek başına I-S (Şekil 9a) veya I-S ve illit oluşturmaktadır (Şekil 9b). I-S'ler RI tipi olup, % 60-75 (ort. % 65) arasında illit tabakası içermektedir.

Kavak bölgesindeki volkanik kayaçlarda bozulma miktarına göre kil (I-S), feldispat ve kuvars, jips, jarosit ve götit, ayrıca bir örnekte O-CT mineralleri saptanmıştır (Şekil 7b). Kil fraksiyonunu bütünüyle I-S veya I-S + illit (Şekil 10), I-S + smektit, smektit + illit ve I-S + illit + smektit birlikte olmaktadır. I-S'ler Kiremitli

yöresindekilerden daha yüksek illit tabakası %85-90 (ort. % 88) içermekte olup, R3 tipindedirler.

Şeyhhalil ve Canabdal yörelerinde kaolinit olarak tanımlanan kaolin grubu (kaolinit, dikit, nakrit) politipini belirlemek için Bailey (1988) tarafından verilen ayırtman pikler kullanılmış ve tümüyle kaolinit politipinden oluştugu belirlenmiştir (Şekil 11).

## **JEOKİMYA**

### **Bozuşmuş volkanik kayaçlar**

İnceleme alanındaki hidrotermal bozuşmalı volkanik kayaçların ana ve eser element ortalama bileşimleri Çizelge 1 de verilmiş ve taze volkanik kayaçlara göre normalize edilmiştir (Şekil 12).

Elde edilen sonuçlara göre, volkanik kayaçların hidrotermal bozuşması sonucu elementlerde 80 (CaO için) ve 200 (Cr için) kat arasında değişen fakirleşme / tüketilme ve zenginleşmeler belirlenmiştir. Tüm yöreler için MnO, MgO, CaO, Na2O ve Co elementlerinde bir fakirleşme / tüketilme, Ni ve Pb elementlerinde ise bir zenginleşme bulunmaktadır. Şeyhhalil yoresi için Sr da fakirleşme, Cr, Zn, Rb ve Nb da zenginleşme; Canabdal yoresi için SiO<sub>2</sub>, K<sub>2</sub>O, Zn, Rb, Ba, Nb ve Y'da fakirleşme, Al<sub>2</sub>O<sub>3</sub>, P<sub>2</sub>O<sub>5</sub>, Cr, Cu, Sr, Ga ve Th da zenginleşme; Kiremitli yoresi için Cr, Cu, Zn ve Sr da fakirleşme, K<sub>2</sub>O, Rb, Ba ve Y da zenginleşme; Kavak yoresi için Cr'da bir fakirleşme, TiO<sub>2</sub>, tFe<sub>2</sub>O<sub>3</sub>, K<sub>2</sub>O, Rb, Ba ve Y'da bir zenginleşme gözlenmektedir. Canabdal yoresi bozuşma ürünleri yüksek Cr içeriği ile diğerlerinden belirgin bir biçimde ayrılırken, bazı elementlerde ise yörelere göre element kontrasyonları sabit kalmaktadır.

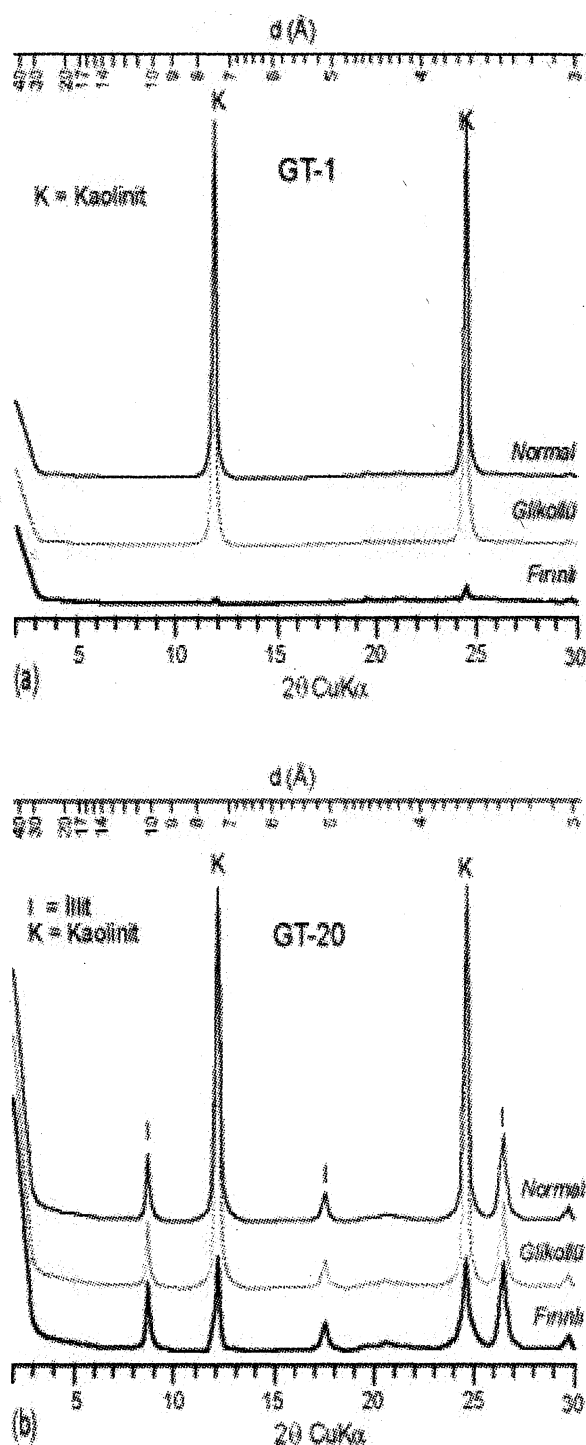
Yörelere göre belirlenen bu farklılıklar Şeyhhalil ve Canabdal yöresinde kaolinitik, buna karşın Kiremitli'de I-S türü bozuşma ürünlerinin bulunması ile ilişkilidir. Ayrıca hidrotermal bozuşmalı volkanik kayaçlardaki hareketsiz elementlerin miktarları taze volkanik kayaçlardakiler ile aynı olmayıp, az da olsa farklılık göstermektedir. Bu durum volkanik ürünlerin bozuşması sırasında hareketsiz elementlerin de etki-lendiklerini düşündürmektedir. Ayrıca hareketli elementlerin miktarlarında önemli artma ve azalmalar dikkat çekmektedir.

### **Kil mineralleri**

Hidrotermal bozuşmuş volkanik kayaçlarda gelişen kil mineralleri üzerinde yapılan ana ve iz element çözümlemeleri ile yapısal formülleri Çizelge 2 de verilmiştir. Yapısal formül hesaplamalarında I-S için 11, kaolinit için 7 oksijen atomu esas alınmıştır (Weaver ve Pollard, 1973). Şeyhhalil yoresine ait kaolinitlerin yapısal formülü kil fraksiyonunun saf olmaması, TiO<sub>2</sub>'nin yüksekliğinden dolayı, olasılıkla volkanojenik bileşenler içermesi nedeniyle hesaplanmamıştır.

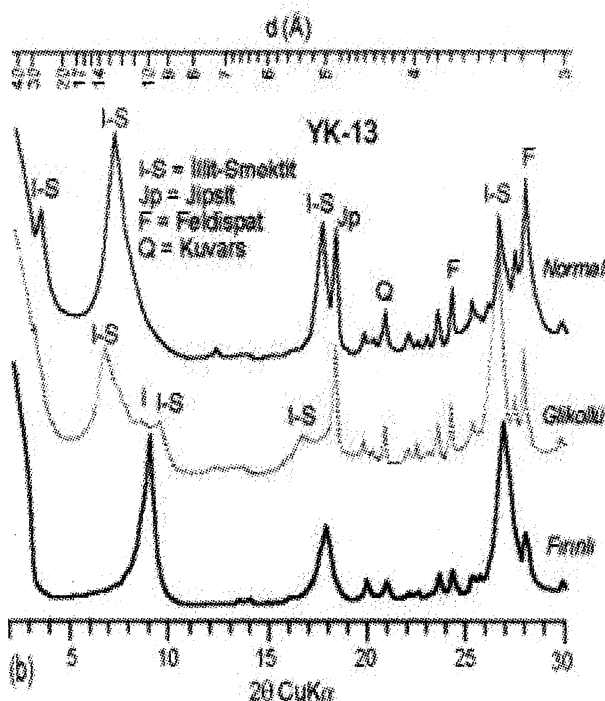
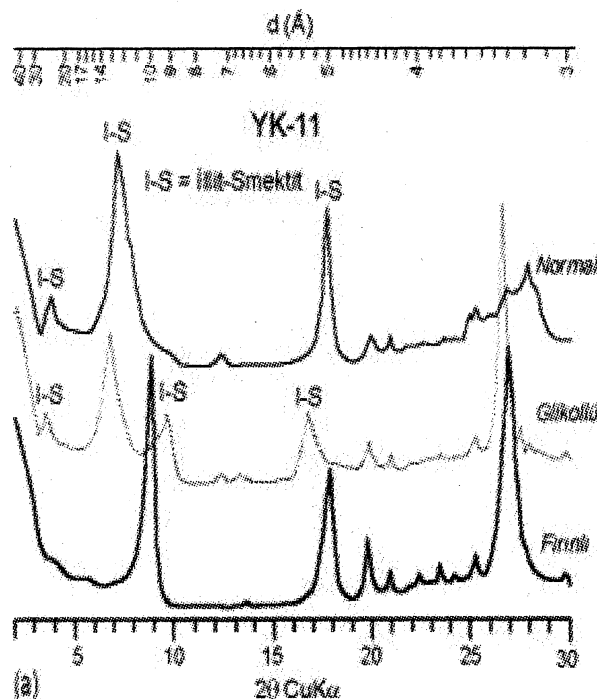
Canabdal yoresi kaolinitleri kimyasal açıdan literatürdekiere büyük bir benzerlik göstermektedir (Weaver ve Pollard, 1973). Şeyhhalil I-S'leri, Kiremitli ve Kavak yöresindekilerden farklı olup, bu durum tetrahedral tabakadaki Si-Al ve oktaedral tabakadaki Al-Fe substitutionu ile ortaya çıkmaktadır. Bunun nedeni I-S yapısındaki illit / smektit oranından kaynaklanmaktadır ve K<sub>2</sub>O içerikleri ile de belirlenebilmektedir. Ayrıca, Şeyhhalil yöresindeki I-S'lerin tFe<sub>2</sub>O<sub>3</sub> bakımından zenginliği, illitin trioktaedral olabileceğine de işaret etmektedir.

SİVAS BATISINDAKİ (YILDIZELİ-AKDAGMADENİ) HİDROTERMAL KAOLİN ve I-S OLUŞUMLARI



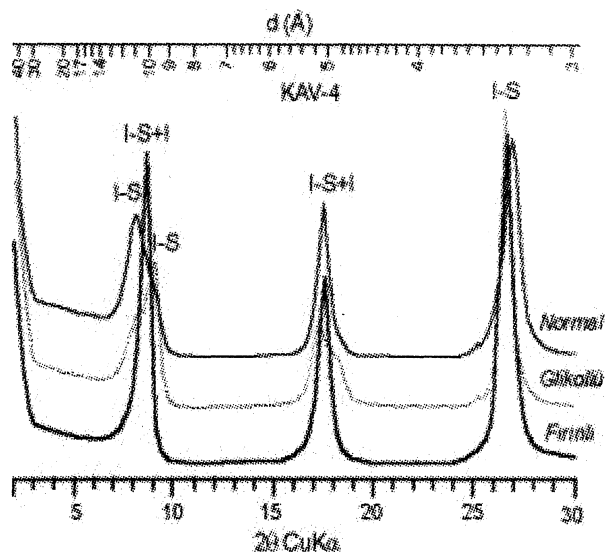
Şekil 8. Canabdal yoresi bozusmuş volkanik kayaçların XRD-KF diffraktogramları, a) kaolinit (GT-1), b) kaolinit + illit (GT-20).

Figure 8. XRD clay fraction diffractograms of the altered volcanic rocks from Canabdal area, a) kaolinite (GT-1), b) kaolinite + illite (GT-20).



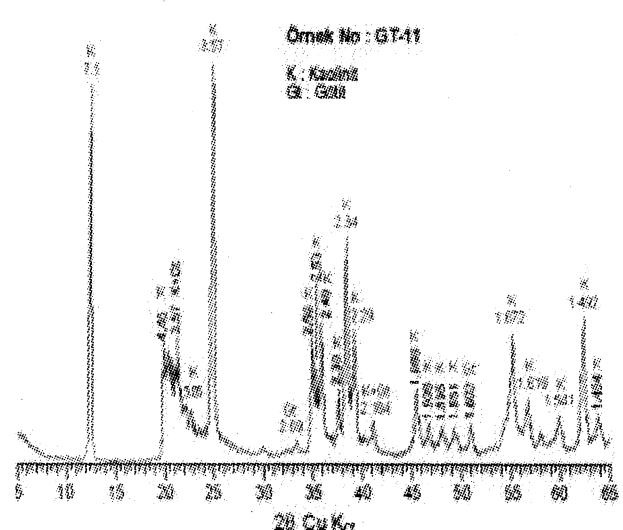
**Şekil 9.** Kiremitli yöresi bozmuş volkanik kayaçlarının XDR-KF diffraktogramları, a) I-S (YK-11), b) I-S + jibsite illit.

**Figure 9.** XRD clay fraction diffractograms of the altered volcanic rocks from Kiremitli area, a) I-S (YK-11), b) I-S + gibbsite illite.



**Şekil 10.** Kavak yöresi bozmuş volkanik kayaçlarında I-S + illit'in XDR-KF diffraktogramı (KAV-4).

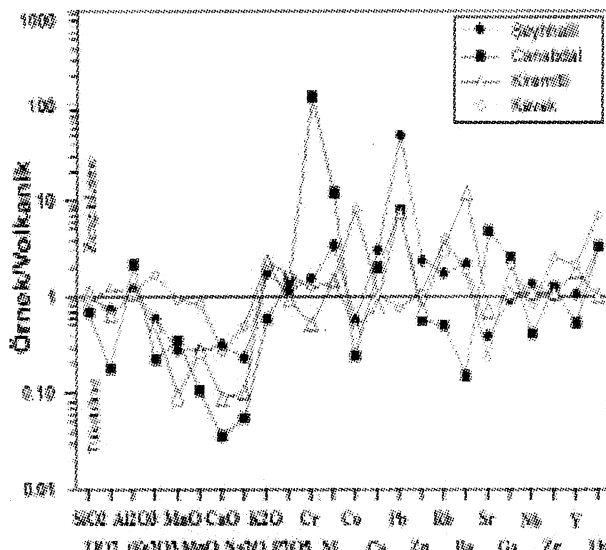
**Figure 10.** XRD clay fraction diffractogram of I-S + illite in the altered volcanic rocks from Kavak area



**Şekil 11.** Canabdal yöresine ait kaolinit politipinin XRD-KF toz diffraktogramı.

**Figure 11.** X-ray clay fraction powder diffractogram of the kaolinite polytype from Canabdal area.

## SİVAS BATISINDAKİ (YILDIZELİ-AKDAĞ MADENİ) HİDROTERMAL KAOLİN ve I-S OLUSUMLARI

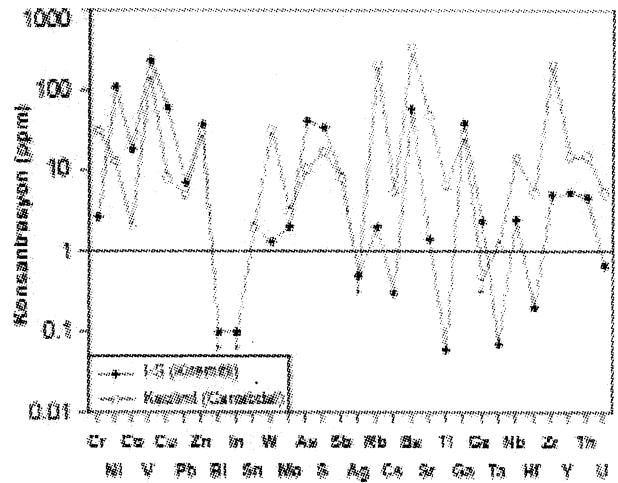


**Şekil 12.** Bozmuş volkanik ürünlerin volkanik-normalize ana ve iz element örümcek diyagramı.

**Figure 12.** Volcanic rock-normalized major and trace element spider diagram of the altered volcanic products.

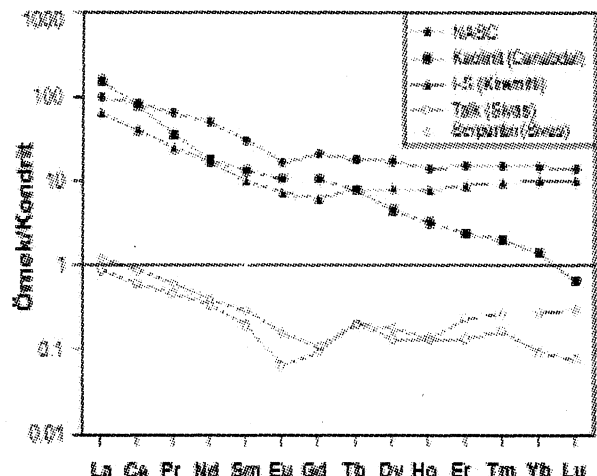
Kil minerallerinin eser ve nadir toprak element (REE) çözümlemeleri sırasıyla Çizelge 3-6 da sunulmuştur. I-S'e göre; kaolinitlerde geçiş metalleri ile düşük değerlikli elementler (LFSE-low field strength element veya LIL-large ion lithophile) genellikle düşük, yüksek değerlikli elementler (HFSE-high field strength element) ise daha yüksek miktarlarda bulunmaktadır (Şekil 13). Ayrıca, iz element konsantrasyonları kil fraksiyonunda genellikle ağır mineral fazlarının bulunmadığını da göstermektedir.

Kaolinit ve I-S'in REE içerikleri kondritlere (Haskin et al. 1968, Gromet et al. 1984, Boynton, 1984) göre normalize edilmiştir (Şekil 14). Diyagramda Sivas yöresine ait talk ve serpentin mineraleri de gösterilmiştir (Yalçın ve Bozkaya, 2001). Kaolinit ve I-S minerallerinde kondritlere göre zenginleşme, buna karşın talk ve serpentinerde fakirleşme oldukça belirgindir. Diğer bir ifade ile ultramafik kayaçların bozulması ile oluşan Mg-mineralleri ile volkanik kayaçların bozulması ile oluşan Al-minerallerinin REE dağılımları birbirinden oldukça farklıdır. Kuzey Amerikan Şeylleri (NASC) de kaolinit ve I-S'in bulunduğu grup içinde yer almaktır, ancak bu minerallere göre REE miktarı bakımından zenginleşme göstermektedir.



**Şekil 13.** Kaolinit ve I-S minerallerinde bazı iz elementlerin bolluk dağılımları (oklar deteksiyon limitlerinin altındaki değerleri göstermektedir).

**Figure 13.** The abundance distribution of some trace elements in the kaolinite and I-S minerals (arrows show values below detection limits).



**Şekil 14.** Kaolinit ve I-S minerallerinin kondrit-normalize REE bollukları (NASC : Ho ve Tm elementleri Haskin et al. 1968, diğer elementler Gromet et al. 1984'den; Kondrit : Boynton, 1984).

**Figure 14.** Chondrite-normalized REE abundances of the kaolinite and I-S minerals (NASC= Ho and Tm elements from Haskin et al. 1968, other elements from Gromet et al. 1984; Chondrite= Boynton, 1984).

Çizelge 1. İnceleme alanındaki taze ve hidrotermal bozmuş mal volkanik kayaçların ortalama kimyasal bileşimlerinin karşılaştırılması (SH=Şeyhhalil, CA=Canabdal, KHCiremitli, KA=Kavak, n.d.:belirlenemedi).

**Table L** The comparison of mean chemical compositions of unaltered and hydrothermally altered volcanic rocks (SH=Şeyhhalil, CA=Canabdal, Kİ=Kiremitli, KA=Kavak, n.d.:not determined).

Örnek / Oksit	Taze Volkanik kayaç	Hidrotermal bozmuş mal volkanik kayaçlar			
		SH	CA	Kİ	KA
SiO <sub>2</sub>	58.18	59.29	40.37	64.99	53.68
TiO <sub>2</sub>	0.85	0.63	0.15	0.55	1.08
Al <sub>2</sub> O <sub>3</sub>	17.68	21.80	40.04	19.30	19.43
ΣFe <sub>2</sub> O <sub>3</sub>	5.98	3.60	1.34	3.01	11.69
MnO	0.11	0.03	0.04	0.01	0.10
Cr <sub>2</sub> O <sub>3</sub>	n.d.	n.d.	0.83	n.d.	n.d.
MgO	3.08	0.86	0.32	0.92	2.48
CaO	6.00	1.89	0.21	0.83	1.12
SrO	n.d.	n.d.	0.28	n.d.	n.d.
BaO	n.d.	n.d.	n.d.	0.53	n.d.
Na <sub>2</sub> O	4.23	0.99	0.23	0.42	1.75
K <sub>2</sub> O	1.94	3.49	1.16	4.58	5.68
P <sub>2</sub> O <sub>5</sub>	0.14	0.16	0.21	0.13	0.26
LOI	1.29	6.65	15.29	4.58	5.38
Toplam	99.48	99.38	100.48	99.85	99.55
Cr	45	70	5657	24	61
Ni	8	28	98	12	12
Co	21	12	5	10	292
Cu	26	84	53	21	27
Pb	11	538	88	84	8
Zn	80	197	46	59	87
Rb	48	88	24	159	277
Ba	688	1546	104	8270	1483
Sr	491	191	2378	351	77
Ga	17	16	44	19	45
Nb	10	14	4	11	8
Zr	148	150	188	162	477
Y	13	14	7	24	35
Th	4	13	13	4	46
As	n.d.	n.d.	n.d.	58	77
S	n.d.	n.d.	n.d.	9993	2314

SİVAS BATISINDAKİ (YILDIZELİ-AKDAG MADENİ) HİDROTERMAL KAOLİN ve I-S OLUŞUMLARI

Çizelge 2. Kil minerallerinin ana element çözümlerleri ve yapısal formülleri (TOC=Toplam Oktahedral Katyon, OY=Oktahedral Yük, ILC=Tabakalararası Yük, TLC=Toplam Tabaka Yükü).

*Table 2. Major element analyses and structural formula of clay minerals (TOC=Total Octahedral cation, OC=Octahedral Charge, ILC=Interlayer Charge, TLC=Total Layer Charge).*

Yöre	Şeyhhalil			Canabdal		Kiremitli		Kavak	
Mineral	I-S	Kaolinit		Kaolinit		I-S	I-S		
Örnek	BÇ-232	BÇ-198	BÇ-199	GT-6	GT-11	YK-5	YK-11	KAV-2	KAV-4
SiO <sub>2</sub>	45,53	40,79	40,07	44,56	44,28	62,26	56,24	52,91	53,93
TiO <sub>2</sub>	1,16	1,63	1,86	n.d.	0,01	0,77	1,46	1,38	1,46
Al <sub>2</sub> O <sub>3</sub>	26,58	34,20	33,70	39,20	37,00	22,24	27,70	30,00	29,24
ΣFe <sub>2</sub> O <sub>3</sub>	7,39	5,87	11,08	n.d.	3,76	n.d.	n.d.	n.d.	n.d.
MnO	0,01	0,03	0,02	n.d.	0,02	n.d.	n.d.	n.d.	n.d.
MgO	1,49	0,62	0,61	n.d.	n.d.	0,47	0,68	2,21	2,55
CaO	0,22	0,36	0,30	0,12	0,10	0,52	0,58	0,53	0,08
Na <sub>2</sub> O	0,26	0,03	0,02	n.d.	n.d.	n.d.	n.d.	n.d.	0,01
K <sub>2</sub> O	6,55	0,73	0,79	n.d.	n.d.	7,67	6,55	7,56	7,00
P <sub>2</sub> O <sub>5</sub>	0,29	0,08	0,15	0,12	0,12	0,06	0,08	0,06	0,09
LOI	10,19	15,44	11,10	15,00	14,69	5,91	6,63	5,48	5,38
Toplam	99,67	99,78	99,70	99,00	99,98	99,90	99,92	100,13	99,74
Si	3,23			1,96	1,96	4,00	3,65	3,43	3,48
Al <sup>IV</sup>	0,77			0,04	0,04	0,00	0,35	0,57	0,52
Al <sup>VI</sup>	1,45			2,00	2,00	1,68	1,76	1,72	1,71
Ti	0,06			0,00	0,00	0,04	0,07	0,07	0,07
Fe	0,39			0,00	0,00	0,00	0,00	0,00	0,00
Mn	0,00			0,00	0,00	0,00	0,00	0,00	0,00
Mg	0,12			0,00	0,00	0,04	0,07	0,21	0,22
TOC	2,02			2,00	2,00	1,76	1,90	2,00	2,00
OC	0,00			0,00	0,00	-0,72	-0,30	-0,14	-0,15
Mg	0,04			0,00	0,00	0,00	0,00	0,00	0,03
Ca	0,02			0,01	0,01	0,04	0,04	0,04	0,01
Na	0,04			0,00	0,00	0,00	0,00	0,00	0,00
K	0,59			0,00	0,00	0,63	0,54	0,63	0,58
ILC	0,75			0,02	0,02	0,71	0,62	0,71	0,66
TLC	-0,77			-0,04	-0,04	-0,72	-0,65	-0,71	-0,67

Çizelge 3. Şeyhhalil yöresi kil minerallerinin eser element çözümlerleri.

*Table 3. Trace element analyses of clay minerals from Şeyhhalil area.*

	Cr	Ni	Co	Cu	Pb	Zn	Rb	Ba	Sr	Ga	Nb	Zr	Y	Th
I-S														
BÇ-232	61	27	26	20	186	108	163	91	177	27	8	138	21	2
Kaolinit														
BÇ-198	215	92	20	44	36	116	36	1	259	31	8	110	5	1
BÇ-199	527	857	39	34	143	127	38	1	807	25	14	161	6	1
Ort.	371	475	30	39	90	122	37	1	533	28	11	136	6	1

**Çizelge 4.** Canabdal yöresi kaolinit minerallerinin eser element çözümlemeleri.

*Table 4. Trace element analyses of kaolinite minerals from Canabdal area.*

	Cr	Ni	Co	V	Cu	Pb	Zn	Bi	In	Sn	W	Mo	As	S	Sb
GT-6	1,89	35	1	203	<10	9	44	<0,1	<0,1	2	<0,5	2	18	44	1,6
GT-11	3,57	185	35	265	114	5	30	<0,1	<0,1	1	1,2	<2	66	24	15,2
Ort.	2,73	110	18	234	62	7	37	0,1	0,1	2	1,3	2	42	34	8,4
	Ag	Rb	Cs	Ba	Sr	Tl	Ga	Ge	Ta	Nb	Hf	Zr	Y	Th	U
GT-6	<0,5	3	0,3	56	1,50	0,06	66	2,4	0,12	3,5	0,1	4	4,8	3,87	0,33
GT-11	<0,5	1	0,2	62	1,35	0,06	9	2,3	0,02	1,4	0,2	5	5,6	5,41	1,00
Ort.	0,5	2	0,3	59	1,43	0,06	38	2,4	0,07	2,5	0,2	5	5,2	4,64	0,67
	La	Ce	Pr	Nd	Sm	Eu	Gd	Tb	Dy	Ho	Er	Tm	Yb	Lu	
GT-6	47,2	64,5	4,47	10,9	3,45	1,04	3,49	0,45	1,63	0,23	0,46	0,052	0,21	0,008	
GT-11	49,8	64,6	4,58	11,2	1,97	0,519	2,00	0,31	1,31	0,22	0,54	0,079	0,38	0,036	
Ort.	48,5	64,6	4,53	11,1	2,71	0,780	2,75	0,38	1,47	0,23	0,50	0,066	0,295	0,022	

**Çizelge 5.** Kiremitli yöresi I-S minerallerinin eser element çözümlemeleri.

*Table 5. Trace element analyses of I-S minerals from Kiremitli area.*

	Cr	Ni	Co	V	Cu	Pb	Zn	Bi	In	Sn	W	Mo	As	S	Sb
YK-5	37	13	3	135	8	5	<30	<0,1	<0,1	2	7,0	2	8	17	3,9
YK-11	27	12	1	179	8	5	<30	<0,1	<0,1	2	26,2	3	12	16	11,8
Ort.	32	13	2	157	8	5	30	0,1	0,1	2	33,2	3	10	17	7,9
	Ag	Rb	Cs	Ba	Sr	Tl	Ga	Ge	Ta	Nb	Hf	Zr	Y	Th	U
YK-5	<0,5	207	3,8	417	38	5,55	24	<0,5	0,92	10,2	4,4	185	11,7	11,8	4,65
YK-11	<0,5	205	6,9	269	56	7,21	31	<0,5	1,35	18,6	6,2	232	18,4	17,8	5,93
Ort.	0,5	206	5,4	343	47	6,38	28	0,5	1,14	14,4	5,3	209	15,1	14,8	5,29
	La	Ce	Pr	Nd	Sm	Eu	Gd	Tb	Dy	Ho	Er	Tm	Yb	Lu	
YK-5	10,8	20,3	2,03	7,14	1,34	0,309	1,16	0,27	1,88	0,45	1,50	0,253	1,70	0,263	
YK-11	30,0	47,0	4,26	13,80	2,57	0,784	2,07	0,52	3,41	0,70	2,24	0,393	2,57	0,395	
Ort.	20,4	33,7	3,15	10,47	1,96	0,547	1,62	0,40	2,65	0,58	1,87	0,323	2,14	0,329	

**Çizelge 6.** Kavak yöresi I-S minerallerinin eser element çözümlemeleri.

*Table 6. Trace element analyses of I-S minerals from Kavak area.*

	Cr	Ni	Co	V	Cu	Pb	Zn	Rb	Ba	Sr	Ga	Nb	Zr	Y	Th	S	As
KAV-2	84	14	574	209	15	12	130	482	306	43	90	6	749	46	71	8	15
KAV-4	68	14	551	206	20	5	100	529	178	6	96	11	716	48	77	15	72
Ort.	76	14	563	208	18	9	115	506	121	25	93	9	733	47	74	12	44

## TARTIŞMA VE SONUÇLAR

Sivas çevresinde Eosen yaşı volkanik kayaçlarda ve bunların hidrotermal bozusma ürünlerinde gerçekleştirilen litolojik, mineralojik-petrografik ve jeokimyasal incelemelerden elde edilen sonuçlar ile bunların yorumlanması ve tartışılması aşağıdaki gibidir :

İnceleme alanında yaklaşık D-B veya KD-GB uzanımlı volkanik kayaçlarda kırık zonları ile ilişkili post-magmatik hidrotermal çözeltiler önemlü bozusmalara neden olmuşlardır. Eosen döneminde etkin olan kırıklar (Yılmaz ve挖., 1995) volkanik ürünlerin yükselmesine; sonraki dönemlerde, olasılıkla Neojen'de yeniden aktif hale geçerek hidrotermal sisteme olanak sağlamış gözükmemektedir. Bunun sonucu sıcak sular ile volkanojenik bileşenlerin kimyasal etkileşiminin ürünleri olan neoformasyon mineralleri oluşmuştur (Çizelge 7). İlgili parajenezler, Doğu Pontidlerde yaygın olarak

**Çizelge 7.** Yörelere göre neoformasyon minerallerinin karşılaştırılması (\*Ender, bazı örneklerde; \*\*=Bol, çoğu örneklerde).

**Table 7. Comparison of ne o formation minerals as to areas**  
(\*=Rare, in some samples; \*\*=Abundant, in most samples)

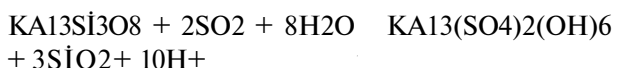
Mineral/Yöre	Şeyhhalil	Canabdal	Kiremitli	Kavaklı
Karbonatlar				
Kalsit	**	*		
Dolomit	**			
Siderit		*		
Sülfatlar				
Jarosit	**		**	**
Jips	**			**
Barit			**	
Alünit		**		
Fosfatlar				
Goyazit		**		
Silika				
Kuvars	**	**	**	**
Tridimit	**			
Feldispatlar				
K-feldispat	**		**	**
Killer				
Kaolinit	**	**		
I-S	**		**	**
Illit	*		**	**
Smektit	*			*
Fe-oksitler				
Hematit		*		
Götít	**		**	*
Pirit			**	
Markasit			*	

gözlenen hidrotermal bozusmalara (Çelik et al., 1999; Karakaya ve Karakaya, 2001) benzerlik göstermektedir :

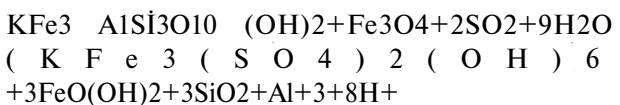
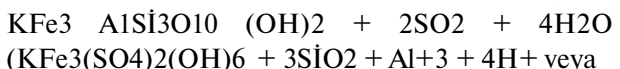
Ortaç bileşimli volkanik kayaçların bozusmasından açığa çıkan katyonlardan Mg, dolomitin; Fe, hematit, götit, pirit, markasit, jarosit ve sideritin; Ca, kalsit, dolomit ve jipsin; Al, kil ve goyazit mineralerinin; artan silis de tridimitin oluşumunda kullanılmıştır. S ise hidrotermal akışkanlarla sisteme katılarak jarosit, jips ve baritin bileşimine katkıda bulunmuştur.

Jips ve barit, I-S oluşumlarına eşlik etmekte olup, Ca'un kaynağını çevredeki karbonat kayaçları, Ba'un kaynağını ise feldispatlar oluşturmaktadır. Krandallit grubunun bir üyesi olan goyazit,  $(\text{Sr}, \text{Ca}, \text{Ba})\text{Al}_3(\text{P}, \text{As})\text{O}_4 \cdot 2(\text{OH})_5 \cdot \text{H}_2\text{O}$  biçiminde genel bir formüle sahip olup, kaolinitierle birlikte Canabdal yöresinde bulunmaktadır. Tüm kayaçta yapılan kimyasal çözümlemelerden Sr ve P bakımından zengin olduğu anlaşılmaktadır.

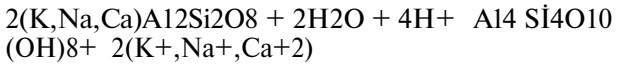
Sadece Canabdal yöresinde alünitin varlığı ve K-feldispatın bulunmaması bu iki mineral arasındaki tepkimeyi olasılı kılmaktadır :



Alünitin gözlenmediği diğer yörelerde ise jarosit ortaya çıkmakta ve çoğunlukla götit'e eşlik etmektedir. Bu mineralin oluşumunda biyotit ve/veya demiroksit türü opak minerallerin (manyetit vb.) bozusması gerekli olmaktadır :

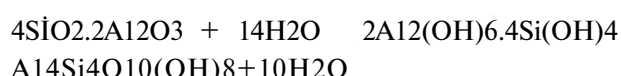


Şeyhhalil ve Canabdal yöresinde ortaya çıkan kaolinitler için, iki oluşum mekanizması ileri sürülebilir. Birincisi feldispatların bozusmasıdır :

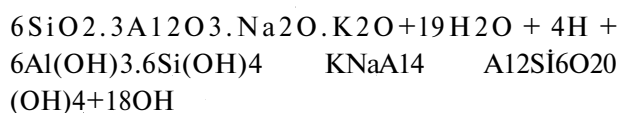


## YALÇIN - BOZKAYA

İkincisi ortamlar farklı olmasına rağmen köken malzemenin aynı olması nedeniyle tonştaynlardakine (Bohor ve Triplehorn, 1993) benzer bir oluşum biçimini ileri sürebilir. Burada ilk aşama volkanik camın asidik hidrotermal çözeltiler ile ayrışması ve oluşan sulu Al-silikat jeli biçimindeki ara üründen itibaren kaolinitin sentezi olası gözükmeğtedir : Volkanik cam +Su Sulu Al-silikat jeli Kaolinit+Su



Bozmuş volkanik kayaçlarda feldispatlарın korunmuş olması, I-S'in feldispattan ziyade kaolinitinkine benzer bir biçimde volkanik camdan itibaren türemiş olduğunu göstermektedir. Bir örnekte dahi olsa, jibsitin  $\text{Al}_2(\text{OH})_6$  bulunması Al-silikat jelinin varlığına işaret edebilir :



Volkanik malzemenin hidrotermal bozusması ile oluşacak kil mineralinin türünü (kaolinit veya I-S) aşağıdaki parametreler denetlemiş gözükmeğtedir (Bohor ve Triplehorn, 1993; Gündoğdu et al., 1996) : hidrotermal çözeltilerin  $\text{pH}'1$  (asidik ise kaolinit, ortaç ise I-S), hidrotermal çözeltilerin tuzluluğu ve/veya alkalinitesi (tuzluluk az ise kaolinit, çok ise I-S), açık ve kapalı sistemde yıkama derecesi (ortam açık ise kaolinit, kapalı ise I-S), silika doygunluğu (çok ise kaolinit, az ise I-S), iyonların ( $\text{H}^+$ ,  $\text{H}_4\text{SiO}_4$ ,  $\text{Al}(\text{OH})_4$  vb.) ve suyun aktivitesi (çok ise kaolinit, az ise I-S), volkanik malzemenin çözünme hızı ve miktarı (çok ise kaolinit, az ise I-S), volkanik malzemenin bileşimi ( $\text{Fe}$  ve/veya  $\text{Mg}$ 'ca zengin ise I-S, fakir ise kaolinit), alkali katyon oranları (Kaolinit için  $\text{Na}/\text{K}=0$ , I-S için  $\text{K}/\text{Na}=1$ ).

İç Anadolu'nun kuzeyindeki volkanojenik provenste DKD-BKB boyunca (Yozgat-Sivas-Giresun) kırmızımsı-pembemsi yamacıklı beyaz

renkli hidrotermal oluşumlar, yerel olarak kaolinit veya I-S yataklarını oluşturmaktır, arazi görünümüleri bakımından birbirinden ayırt edilememektedir. Ayrıca, değişik miktarlarda Fe-oksit ve/veya sülfat içermeleri nedeniyle de ekonomik zonların ortaya çıkarılması, yaygın mineralojik ve jeokimyasal çalışmaların yapılmasını zorunlu hale getirmektedir.

## DEĞİNİLEN BELGELER

Aktimur, H.T., Tekirli, M.E. ve Yurdakul, M.E., 1990. Sivas-Erzincan Tersiyer havzasının jeolojisi. MTA Dergisi, 111, 25-36.

Bailey, S.W., 1988. X-ray diffraction identification of the polytypes of mica, serpentine, and chlorite. Clays and Clay Minerals, 36, 3, 193-213.

Bohor, B.F. ve Triplehorn, D.M., 1993. Tonsteins: Altered volcanic ash layers in coal bearing sequences. Geological Society of America, Special Paper, 285, 44 pp.

Boynton, W.V., 1984. Geochemistry of the rare earth elements: Meteorite studies. In: Geochémistry of the rare earth elements, Elsevier, Henderson, P. (ed.), pp. 63-114.

Celik, M., Karakaya, N. and Temel, A., 1999. Clay minerals in hydrothermally altered volcanic rocks, Eastern Pontides, Turkey. Clays and Clay Minerals, 47, 708-717.

Çerikcioğlu, B. ve Yalçın, H., 1998. Yıldızeli-Akdağmadeni arasındaki (Yavu çevresi) Eosen yaşlı volkanojenik kayaçlarla ilişkili kil mineralerinin mineralojisi ve jeokimyası. C.Ü. Mühendislik Fakültesi Dergisi Seri A-Yerbilimleri, 15, 87-100.

Flanagan, F. J., 1976. Descriptions and analyses of eight new USGS rock standards, In Twenty-eight papers present analytical data on new and previously described whole rock standards: USGS Prof. Paper, (ed. by F.J. Flanagan), 840, 171-172.

## SİVAS BATISINDAKİ (YILDIZELİ-AKDAG MADENİ) HİDROTERMAL KAOLİN ve İ-S OLUŞUMLARI

- Fuji, N., Kayabah, İ. and Saka, A.H., 1995. Data book of ceramic raw materials of selected areas in Turkey. MTA Monography Series No. 1, 144 p.
- Gençoğlu, H., Bayhan, H. ve Yalçın, H., 1989. Bilecik-Söğüt yöresi kaolin yataklarının mineralolojisi ve kökeni. IV. Ulusal Kil Sempozyumu, C.Ü. Sivas, 20-23 Eylül, Bildiriler Kitabı (Eds. D.Boztağ ve H.Yalçın), 97-112.
- Govindaraju, K., 1989. 1989 compilation of working values and sample description for 272 geostandards. Geostandards Newsletter, 13, 1-113.
- Gökten, E., 1983. Şarkışla (Sivas) güney-güney-doğusunun stratigrafisi ve jeolojik evrimi. Türkiye Jeoloji Kurumu Bülteni, 26, 167- 176.
- Gökten, 1993. Yıldızeli (Sivas) güneyinde Akdağ metamorfitleri ve örtü kayalarının stratigrafisi ve tektoniği. Türkiye Jeoloji Bülteni, 36, 83-93.
- Gromet, L.P., Dymek, R.F., Haskin, L.A. and Korotev, R.L., 1984. The "North American shale composite" : Its compilation, major and trace element characteristics. *Geochimica et Cosmochimica Acta*, 48, 2469-2482.
- Gündoğdu, M.N., Yalçın, H., Temel, A. and Clauer, N., 1996. Geological, mineralogical and geochemical characteristics of zeolite deposits associated with borates in the Bigadiç, Emet and Kırka Neogene lacustrine basins, Western Turkey. *Mineralium Deposita*, 31, 492-513.
- Haskin, L.A., Haskin,M.A., Frey, F.A. and Wildeman, T.R., 1968. Relative and absolute terrestrial abundances of the rare earths. In : Origin and Distribution of the Elements, L.H.Ahrens (ed.). Pergamon Press, p.889-912.
- Karakaya, N. ve Karakaya, M.Ç., 2001. Şaplıca (Şebinkarahisar, Giresun) volkanitlerinin hidrotermal alterasyon türlerinin mineralojik ve jeokimyasal özellikleri. *Türkiye Jeoloji Bülteni*, 44, 75-89.
- Keller, W.D., 1976. Scan electron micrographs of kaolins collected from diverse environments of origin-I. *Clays and Clay Minerals*, 24, 107-113.
- Keller, W.D., 1978. Classification of kaolins exemplified by their textures in scan electron micrographs, *Clays and Clay Minerals*, 26, 1-20.
- Kurtman, R, 1973. Sivas-Hafik-Zara ve İmranlı bölgelerinin jeolojik ve tektonik yapısı. *MTA Dergisi*, 80, 1-32.
- Moore D.M. and Reynolds R.C., 1997. X-ray Diffraction and the Identification and Analysis of Clay Minerals. Oxford Univ. Press, Oxford, 378 p.
- Özcan, A., Erkan, A., Keskin, A., Oral, A., Özer, S., Sümengen, M. ve Tekeli, O., 1980. Kuzey Anadolu Fay-Kırşehir Masifi arasındaki temel jeolojisi. *MTA Derleme Raporu*, No.6722, Ankara (yayılmanızı önerilen).
- Streckeisen, A., 1978. Classification and nomenclature of volcanic rocks, lamprophyres, carbonatites and melilitic rocks. IUGS Subcommission on the Systematics of Igneous Rocks. Recommendations and Suggestions. *Neues Jahrbuch für Mineralogie*. Stuttgart. Abhandlungen, 31, 1-14.
- Tatar, Y, 1977. Ofiyolitli Çamlıbel (Yıldızeli) bölgelerinin stratigrafisi ve petrografisi. *MTA Dergisi*, 88, 56-72.
- Tütüncü, K. ve Aktimur, H.T., 1988. 1:100.000 ölçekli açınsama nitelikli Türkiye Jeoloji Haritaları Serisi, Divriği-F25 paftası, MTA Yayımları, Ankara.
- Weaver, C.E. and Pollard, L.D., 1973, The Chemistry of Clay Minerals. Developments in Sedimentology 15, Elsevier Sci. Publ. Co., Amsterdam, 213 pp.
- Yalçın, H., 1991. Hidrotermal kaolinitlerin morfolojisini ve kimyasını : Eskişehir ve Malatya yörelerinden örnekler. V. Ulusal Kil Sempozyumu, Anadolu

## YALÇIN - BOZKAYA

Üniversitesi, Eskişehir, 16-20 Eylül, Bildiriler Kitabı (Ed. M.Zor), 74-86.

Yalçın, H., 1997. Eosen yaşılı denizaltı volkanizması ile ilişkili İç Kuzey Anadolu zeolit oluşumları. C.Ü. Mühendislik Fakültesi Dergisi Seri A-Yerbilimleri, 14,43-56.

Yalçın, H. ve Bozkaya, Ö., 2001. Sivas havzası (güney kesimi) talk oluşumlarının mineralojisi ve kökeni. 10. Ulusal Kil Sempozyumu, Selçuk Üniversitesi, Konya, 19-23 Eylül, Bildiriler Kitabı, 314-326.

Yalçın, H., Bozkaya, Ö., 2002. Hekimhan (Malatya) çevresindeki Üst Kretase yaşılı volkaniklerin alterasyon mineralojisi ve jeokimyası : denizsuyu-kayaç etkileşimine bir örnek. C.Ü.Müh. Fakültesi Dergisi Seri A-Yerbilimleri, 19, 81-98.

Yalçın, H., Karayıgit, A.İ., Cicioğlu, E. ve Gümüşer, G., 1997. Eosen yaşılı Sorgun kömür havzasının kil mineralojisi ve tümkayaç jeokimyası arasındaki ilişkiler. VIII. Ulusal Kil Sempozyumu, Dumluşmar Üniversitesi, Kütahya, 24-27 Eylül, Bildiriler Kitabı (Ed.I.Işık), 15-24.

Yeniyol, M., 1983, Trakya ve Kuzeybatı Anadolu kil yataklarının mineralojisi ve endüstriyel değerlendirmeleri. TÜBİTAK, Proje No. TBAG-498, 103 s.

Yılmaz, A., 1981a. Tokat ile Sivas arasındaki bölgede ofiyolitli karışığın iç yapısı ve yerleşme yaşı. Türkiye Jeoloji Kurumu Bülteni, 24, 31-38.

Yılmaz, A., 1981b. Tokat ile Sivas arasındaki bölgede bazı volkanitlerin petrokimyasal özellikleri. Türkiye Jeoloji Kurumu Bülteni, 24, 51-58.

Yılmaz, A., 1983. Tokat (Dumanlıdağı) ile Sivas (Çeltekdağı) dolaylarının temel jeoloji özellikleri ve ofiyolitli karışığın konumu. MTA Dergisi, 99-100, 1-18.

Yılmaz, A., Uysal, Ş., Bedi, Y, Yusufoglu, H.,

Havzoğlu, T, Ağan, A., Göç, D. ve Aydın, N., 1995. Akdağ Masifi ve dolayının jeolojisi. MTA Dergisi, 117, 125-138.

Yılmaz, A., Uysal, Ş., Bedi, Y, Eşref, A., Yusufoglu, H., Havzoğlu, T. ve Aydın, N., 1997. 1:100 000 ölçekli açınsama nitelikli Türkiye Jeoloji Haritaları No.46 Sivas-F22 Paftası. MTA Jeoloji Etüdleri Dairesi, Ankara, 14 s.

## KATKI BELİRTME

Bu çalışma C.Ü. Araştırma Fonu Başkanlığı'nın desteği kapsamında hazırlanmıştır. Arazi ve laboratuvar çalışmaları süresince destegini esirgemeyen Arş.Gör.Zeynel BAŞIBÜYÜK'e, arazi çalışmalarındaki lojistik yardımları için Veysel ATEŞ ve Yrd.Doç.Dr.Ömer Lütfi SÜL'e, laboratuvar çalışmalarındaki yardımları için Kimya Yüksek Mühendisi Fatma YALÇIN, Kimyager Dr.Ümit ŞENGÜL ve teknisyen Ufuk KUŞ'a teşekkürü bir borç biliriz.

## EXTENDED SUMMARY

Interesting results were obtained from lithologic, mineralogic-petrographic and geochemical investigations, which carried out on Eocene volcanic-volcanosedimentary units and their hydrothermal alteration products in Sivas western. Lavas in the study area were represented by basaltic andesite, basaltic trachy-andesite, trachyte and dacite with intermediate and calc-alkaline composition that are occurred with fractional crystallization from magmas in which crustal contamination is dominant. Volcanism in the region was developed during the collision of Anatolide-Pentide plates or following period according to geochemical data.

Post-magmatic hydrothermal solutions related to fault zones with ENE-WSW direction that caused the important extensive alterations. The fault systems affected in the Eocene that are erupted the volcanic products that seem to be reactivated in late Miocene and become possible the circulation of the

## SİVAS BATISINDAKİ (YII DİZELİ-AKDAĞMADENİ) HİDROTERMAL KAOLİN ve I-S OLUŞUMLARI

hydrothermal fluids. Thus, neoformation minerals were taken place as products of chemical interaction between hydrothermal solutions and volcanogenic components.

Kaolinite and/or I-S were completely developed in the white-yellow altered volcanic rocks in the Şeyhhalil, Kiremitli and Kavak (Yıldızeli) regions. Jarosite, gypsum, goethite, pyrite, marcasite and gibbsite were detected in the altered volcanic rocks bearing I-S. Among the cations coming out alteration of volcanic rocks with intermediate composition, Mg are used for occurrences of dolomite, palygorskite, Fe for goethite, pyrite, marcasite and siderite; Ca for calcite, dolomite and gibbsite; and Al for clay and goyazite. The remains of silica produced the tridymite, and finally sulphur carried with hydrothermal system contributes to the compositions of jarosite, gypsum and barite.

The presence of both alunite and goyazite on contrary to absence of K-feldspar only in the Canabdal area possibly indicate a genetic relationship between these minerals. Jarosite usually associated with goethite appears in the other areas where found no alunite. The formation of jarosite requires the alteration of biotite and/or opaque minerals (magnetite, etc). The two mechanisms could be asserted for the formation of kaolinite in the Şeyhhalil and Canabdal areas: The first is the alteration of feldspar and the other is kaolinization of the volcanic glass as similar to occurrences of tonstein although the environments are different from each other. It is possibly suggested that the first stage is the hydrolysis of volcanic glass by hydrothermal fluids and then kaolinite is synthesized from intermedite product as Al-silicate gel. In the altered volcanic rocks, I-S can be considered to derive from volcanic glass rather than feldspar because of the preservation of feldspar.

The kind of clay minerals such as kaolinite or I-S which are formed by the alteration of volcanic material seem to be controlled by various parameters such as pH, salinity and/or alkalinity of

hydrothermal solutions, leaching degree in the open and closed system, silica saturation, activation of water and ions, and alkali cation ratios. The composition and dissolution rate and amount of volcanic material are also important. In the volcanogenic province at the northern part of the Central Anatolia, white hydrothermal occurrences with reddish to pink-like patches contain locally kaolinite or I-S that they are similar to one another from the point of view of field. In addition to this, they can be operated with difficulty due to bearing Fe-oxide and/or sulphate, therefore the recognition of the economic zones by mineralogic and geochemical studies are necessary.

---

Makale Geliş Tarihi : 10 Ekim 2002  
Kabul Tarihi : 26 Mayıs 2003

Received : October 10,2002  
Accepted : May 26, 2003

